

737 <div style="display: flex; justify-content: space-between;"> <div style="width: 45%;"> תקופת המבחן: 2003-2005 </div> <div style="width: 45%;"> קוד מחקר: 301-0380-05 </div> </div> <div style="border: 1px solid black; padding: 5px; margin-top: 10px;"> Subject: BINDING OF HEAVY METALS TO DOM FROM SECONDARY EFFLUENT </div> <div style="border: 1px solid black; padding: 5px; margin-top: 10px;"> Principal investigator: Pinchas Fine </div> <div style="border: 1px solid black; padding: 5px; margin-top: 10px;"> Cooperative investigator: URI MINGELGRIN, BORISOVER MICHAEL </div> <div style="border: 1px solid black; padding: 5px; margin-top: 10px;"> Institute: Agricultural Research Organization (A.R.O.) </div>	<div style="display: flex; justify-content: space-between;"> <div style="width: 45%;"> שם המבחן: קשירת מותכות כבדות לחומר אורגני מסיס שמקורו במים קולחיים </div> <div style="width: 45%;"> חוקר הראשי: פנחס פיין </div> </div> <div style="border: 1px solid black; padding: 5px; margin-top: 10px;"> חוקרים שותפים: אורן מינגלגרין, מיכאל בריסובר </div> <div style="border: 1px solid black; padding: 5px; margin-top: 10px;"> מוסד: מינהל המחקר החקלאי, ת.ד. 6 בית דגן 50250 </div>
---	--

תקציר

מטרת העבודה - בוחנת שימוש במים קולחיים שכינויים (להלן מי קולחים) ובמי קולחיים שלישוניים (להלן מי שפירים), להשקיית ליזמתורים שביהם ניטעו עצי איקליפטוס.

מהלך העבודה והתוצאות - בדוגמאות החא"ם במקטע הגודל חא"ם >0.45 , לא נמצא הבדלים ברכיבו הפא"ם בין הנזקים. הבלתיה הספציפית (SUVA), המכובעת על ריכוז החומרים האромטיים בחא"ם, ירדה בסדר הבא: נקז מי שפירים $>$ נקז מי קולחים מי קולחים. באנליזת NMR-H¹, נמצא שבחא"ם ממי הקולחיים היו פחות אромטיים ויתר אליפטיים, מאשר חא"ם משני סוגים הנזקים. כמו כן, חא"ם ממי הקולחיים נמצא יותר מחומצן ופולארי מאשר חא"ם בשני סוגים. גם באנליזת FTIR, שבוצעה עבור אותן הדוגמאות, נמצא שדוגמאות החא"ם משני סוגים הנזקים היו יותר אромטיות ופחות מחומצנות, מדוגמאות חא"ם של מי הקולחים.

במפעות הפלואורסצנטיות נצפו שני פיקים מרכזיים, שאפיינו חומרים דמוויי חומצות פוליביות/holebitiyot. בנוסף לשני הפיקים הניל, בדוגמאות חא"ם של מי הקולחיים, אותר פיק נוסף שאפיין חומרים דמוויי חלבוניים שמקורם בפירוק מיקרובילי, כגון טריפטוף (חומרה אמינית). בנוסף לכך, בחא"ם ממי הקולחיים נצפה גם פיק נוסף, ברור פחות, שייחס לחלבוניים אромטיים. עצמת הפיקים במקטע הקטן, הייתה גבוהה יותר בהשוואה למקטע הגזול יותר, ולכן ניתן לומר שהחא"ם הקטן מולקולארית, מכיל יותר קבועות פלאורסצנטיות מהחא"ם הגדול מולקולרית. במקטע הגודל חא"ם <0.45 kDa, לפני הומויוניזציה (הרוויה) בנתרון, נוספת, נצפתה קשירה נמוכה יותר של נחושת, ע"י חא"ם ממי קולחים, לעומת הדגש החא"ם משני סוגים הנזקים. לאחר תהליך ההומויוניזציה, כל דוגמאות החא"ם הראו קשירה נמוכה יותר לנחושת, בהשוואה לדוגמאות החא"ם שלא עברו את התהליך. במקטע הגודל חא"ם <1 kDa, לא נמצא הבדלים בין חא"ם ממי קולחיים לבין שני סוגים הנזקים. קשיית הנחושת ע"י החא"ם, הייתה יותר נמוכה מאשר במקטע הגדל. במדידות פלאורסצנטיות נמצאה שעיליה ברכיבו הנחושת המוסף, גרמה לירידה בעוצמת הפלואורסצנטיה של החא"ם.

הסביר התופעה מיחס לחיוטרות קומפלקס תא"ם נחושת, שאינו פלאורסצנטי. עבר חא"ם ממי הקולחיים, הירידה בעוצמת הפלואורסצנטיה הייתה תלולה וייתר משמעותית. הנזקים, שערכו הירידה בעוצמת הפלואורסצנטיה הייתה תלולה וייתר משמעותית. מסקנות - ניתן לומר שבחא"ם ממי קולחים, קשור הנחושת באטרים שאינם פלאורסצנטיים, ולכן קשיית הנחושת כמעט שאינה משנה את תוכנותיו הפלואורסצנטיות. חא"ם משני הנזקים, קשור לנחושת בעיקר באטרים פלאורסצנטיים.

קשרת מטכאות כבדות לחומר אורגני מס' שמקורו במיל-קולחים ובמי-נקז מהשקיה במיל-קולחים

Binding of heavy metals to DOM that originates from effluent irrigation

מוגש לקרן המזען הראשי במשרד החקלאות, צוות היגי" שימוש בקולחים ומים מושבים וייעול השימוש במים" (02-0382), ע"

פנחס פין, המכון למדעי הקרקע המים והסביבה, מרכז וולקני, בית דגן

Pinchas Fine, Inst. of Soil, Water and Environ. Sci., The Volcani Center, Bet Dagan 50250; finep@volcani.agri.gov.il

אורן מינגלגרין, המכון למדעי הקרקע המים והסביבה, מרכז וולקני, בית דגן

Uri Mingelgrin, Inst. of Soil, Water and Environ. Sci., The Volcani Center, Bet Dagan 50250; uriming@volcani.agri.gov.il

מיכאל בורייסובר, המכון למדעי הקרקע המים והסביבה, מרכז וולקני, בית דגן

Mikhail Borisover, Inst. of Soil, Water and Environ. Sci., The Volcani Center, Bet Dagan 50250; vwmichel@volcani.agri.gov.il

אנה בריוזקין, המכון למדעי הקרקע המים והסביבה, מרכז וולקני, בית דגן

Anna Beriozkin, Inst. of Soil, Water and Environ. Sci., The Volcani Center, Bet Dagan 50250; shomron-anna@narod.ru

רוויטל חייט, המכון למדעי הקרקע המים והסביבה, מרכז וולקני, בית דגן

Revital Hayat, Inst. of Soil, Water and Environ. Sci., The Volcani Center, Bet Dagan 50250; revutalh@post.tau.ac.il

שותפים לדוח:

נדzia בוחנובסקי, שושי סוריאנו

המצאים בדוחם תוצאות ניסויים ואינם מהווים המלצות לחקלאים


חתימת החוקר הראשי

המכון למדעי הקרקע, המים והסביבה, מרכז וולקני

יוני 2006

1. תקציר

בעבודה זו, נעשה שימוש בניי קולחים שניוניים (להלן מי' קולחים) ובמי' קולחים שלישוניים (להלן מ' שפירים), להשקיית ליזימטרים שבהם ניטעו עצי איקליפטוס. בדוגמאות החא"מ במקטע הגדול ($\Delta^{13}\text{C} > 20\text{ ppm}$, לא נמצא הבדלים ברכוז הפא"מ בין הנזקים. הבלתי הսפציפית (SUVA), המצביעת על ריכוז החומרה האромטיים בחא"מ, ירדה בסדר הבא: נק' מ' שפירים $<$ נק' מי' קולחים $<$ מי' קולחים. באנגליזט NMR-H¹, נמצא שכא"מ ממ' הקולחים היו פחות אромטיים יותר מאשר חא"מ משני סוג הנזקים. גם כאן, חא"מ ממ' הקולחים נמצא יותר דוגמאות, נמצאו יונר מחומצן ופולאר' אליפטיים, מאשר חא"מ משני סוג הנזקים. בFTIR, שבוצעה עבור אותן הדוגמאות חא"מ של מי' הקולחים. במנופת הפלואורסצנטית נצפו שני פיקים מרכדיים, שאפ"יו חומרים דמו"י חומצות פוליבוט/הולビות. בנוסף לשני הפיקים הנ"ל, בדוגמאות חא"מ של מי' הקולחים, אוצרר פיק נוסף שאפ"יו חומרים דמו"י חלבוניים שמקורים בפרק מיקרובילי, כגון טריפטופן (חווצה אמינית). בנוסף לפיקים נמצאו דמו"י חומרים דמו"י הקולחים מצפה גם פיק נוסף, ברור פחות, ולכן ניתן לומר שהחא"מ הקטן מולקולרי, מכל היות גבורה יותר בהשוואה למקטע הגדויל יותר, וכן ניתן לומר שהחא"מ הקטן מולקולרי, מכל במדידות פלאורסצנטיות נמצא שעיליה ברכוז הנוחות המשופט, גרמה לירידה בעקבות במקטע הגדול $\Delta^{13}\text{C} < -45\text{ ppm}$, לפני הומויניזציה (הרוויה) בנתך, ואחריה, נצפתה קשייה נמוכה יותר של נוחות, ע"י חא"מ ממ' קולחים, לעומת החא"מ משני סוג הנזקים. לאחר התהילר ההומויניזציה, כל דוגמאות החא"מ הרואו קשייה נמוכה יותר לנוחות, בהשוואה לדוגמאות החא"מ שלא עברו את התהילר. במקטע הגדול $\Delta^{13}\text{C} < -200\text{ ppm}$, לא נמצא הבדלים בין חא"מ ממ' קולחים לבין שני סוג הנזקים. קשיית הנוחות ע"י החא"מ, היתה יותר נמוכה מאשר במקטע הגדול. במדידות פלאורסצנטיות נמצא שעיליה ברכוז הנוחות המשופט, גרמה לירידה בעקבות הפלואורסצנטיה של החא"מ. הסבר התופעה מיחס לחיוצרות קומפלקס חא"מ נוחות, שאינו פלאורסצנטי. עבור חא"מ ממ' הקולחים, הירידה בעקבות הפלואורסצנטיה הייתה מתונה מאוד, לעומת חא"מ משני סוג הנזקים, הקשור הירידה בעקבות הפלואורסצנטיה הייתה תלולה יותר משמשתית. ניתן לומר שכא"מ ממ' קולחים, הקשור לנוחות באטריות שאינן פלאורסצנטיים, ולכן קשיית הנוחות כמעט שאינה משנה את תכונותיו הפלואורסצנטיות. חא"מ משני סוג הנזקים, הקשור לנוחות בעיקרם פלאורסצנטיים.

2. רקע תיאורטי:

האגורמים העיקריים המשמשים על החא"מ במ-נק' מקרקע מושקית במ-קולחים הם הרכיב המים, משטר השטיפה, הפעולות המיקרוביאלית ופעולות השורשים. משטר השטיפה משפייע על מידת ההתרכשות של החא"מ במ-נק' מקרקע, שמקורו במ-בקולחים ובשורשים, מחד גיסא, ועל מידת פירוקו, מאידך גיסא. הצמח תורם חא"מ לקרקע ולמי-הנק' מהפרשות שורש ומתחמות שורשים. חא"מ במים, ובכלל זאת חא"מ במ-קולחים ומ-נק', מכיל מרכיבים שונים ובין היתר חלבוניים ומבנים דמו"י חלבון, חומצות פוליביות והומיות, פחמימות (רב-סוכרים) וקומפלקסים של מרכיבים אלה עם מתקנות שונות (בעיקר מתקות מעבר) ועם מולקולות אורגניות אחרות. העבודה שלם ושל אחרים (כגון, Manka et al., 1974; Peschel and Wildt, 1988) מראות כי החא"מ במ-kolchim הוא בעיקרו קטן-מולקולרי (רזבו ככל קטן מ 30 ק"ד), כי הוא מכיל קבוצות אמידתיות, עשיר יחסית בקבוצות קרבוקסיליות ודול בקבוצות אромטיות יהסית לחומר אורגני מיצג (כגון, מקרקע). החא"מ במ-kolchim הידרופיל מאי יכולות לחומר הארגני של הקרקע (כלומר, יש בו שייר גובה של חומצות פוליביות). מרבית החא"מ איטי ניתן להגדירה מדעית אלא רק להגדירה פונקציונלית. הפרדות מתקבלות כגון לפי הידרופיליות/ליפופיליות, מוגבלות בערך המידע שהן מספקות. במקרים זאת, איט מצעים לנצל מידות פלאורסצנטיה לאיפ"יו החא"מ עם נוחות מאפשר קבלת מידע נוסף על אופי החא"מ המתקבלים עם נתונים מטיטריציה של חא"מ עם נוחות מאפשר קבלת מידע נוסף על אופי החא"מ וקשרתו לנוחות. מיפוי ספקטור פלאורסצנטי תלת מימדי, אנלייזט פרוטונים (H-NMR¹) ואנלייזט FTIR, אפשרו ניתוח נוסף ועמוק יותר, של הבדלים בהרכב החא"מ מהמקורות השונים.

3. הפעלת המחקר: תכנית עבודה ושיטות:

תכנית העבודה הייתה כלה להלן:

אבי דרכן (פרק 6 בהצעת המחקר):

שנה ראשונה: גיזום והעתקת עצי אקליפטוס למכליים חדשים (בוצע). הפקת חא"מ ומקטען ממי-kolchim (בוצע) ו מבצתה; העמסת מי-kolchim במכליים עם חול דינגה לשם הפקת חא"מ מיישן

ומיפוי. פיתוח השיטה למיפוי ספקטראופלאורומטרי תלת-מימדי (בביצוע); איפון החא"ם מדידות פלאורנסציה (בביצוע), FTIR, LCMS, (ISE, LCMS, FTIR, -). תשלהנה מספר דוגמאות לאנליזת NMR (בוצע); פיתוח מערכת ה ISE והדיאליזה לקביעת ממד' הקומפלקסציה (בביצוע).

שנה שנייה: איפון החא"ם בעדרת אלקטרודת נחושת ספציפית (ISE) ושילוב שיטה זו עם אנליזת ספקטראליות – פלורנסציה (בוצע). אnalיזת H-NMR (בוצע), מיפוי פלאורנסציה תלת מימדי (בוצע).

שנה שלישית: בשנה זו עסוק בעיקר ברכיב המידע הרוב שהתקבל ובעיבוד הנתונים. כמו כן המשיכנו במדידות פלאורנסציות של דוגמאות החא"ם, ובהשוואה בין הנתונים שהתקבלו מיפוי פלאורנסציאלי תלת-

אלקטרודת נחושת ספציפית, ובין הנתונים הפלואורנסציטים.

4. חומרים ושיטות:

4.1 כליה:

הניסוי נערך באתר השפדי". לזרמיונים שביהם ניתנו עצי איקליפטוס, הושקו במילקולים שנינויים מאתר השפדי (להלן מי-קולחים), או במילקולים שלישוניים, שהתקבלו לאחר תקופה זמן שבה שבו הקולחים השינויים בקרקע (להלן מים שפיריים). בדומה לניסוי המדוח ע"י Fine et al., 2002 ההשקייה הייתה גירשנית החל בחודשים יוני-יולי 2003, עד השטיפה של חתך הקרקע בראשית נובמבר 2003. חתך הקרקעobilיזיטרים נשפט ב-50 ליטרים של מי ברך, (כ-3-2 נפח נקבובים), והעצים היו בני שנתיים בזמן איסוף הנלקדים.

הדוגמאות שנלקחו לאנליה מעבדתית היו בשלשה סוגים:

1. מי-קולחים (נקחו ארבע דגימות במהלך השנה)
2. נקדים מליזיטרים שהושקו במילקולים (להלן נקז שפיריים)
3. נקדים מליזיטרים שהושקו במים חסרי (להלן נקז שפיריים) לדוגמאות הוסף סודיום איזיד ברכיב סופי של 0.02%, למשך הפעילות המיקרובילית. כל הדוגמאות נשמרו בקירור, ב-4°C, עד להמשך האנליה.

4.2 חומרים:

כל החומרים שביהם נעשה שימוש, היו מדרגת ניקיון אנליטית.

NaOH, H₂SO₄, H(NO₃)₄, HCl, NaCl, Na₄EDTA, Cu(No₃)₂. Merck הוא מתוצרת חברת WATER Millipore (5659C). ניקוי נסוף בתהליק של אוסמוזה הפוכה, במכשור מתוצרת Millipore (Q5, 5659C). כל הכלים שביהם נעשה שימוש, הושרו בחומצה חנקטיבית מהולה. לאחר מכן נשטו במים חסרי יונים, במים מזוקקים פעמיים, יבשו והוכנו לשימוש.

4.3 שיטות:

4.3.1 איפון בסיסי:

בכל הדוגמאות משלבי הטיפול וה הפרדה השונים (שיפורטו בהמשך), נמדדוו ערכי pH, חזק יוני, וציפיות אופטיות באורך גל של כוח 256.

pH נמדד באמצעות אלקטרודת pH מתוצרת Hanna, בפוטנציאומטר מתוצרת חברת Denver Instrument model 50. באמצעות pH9 Merck (pH9), שימושו לכיל האלקטרודה. הבדיקה נעשתה בתחילת כל יום עבודה. החזק היוני נבדק באמצעות אלקטרודה מוליכות וממד מוליכות מתוצרת חברת Cyberscan CON, מודול 510.

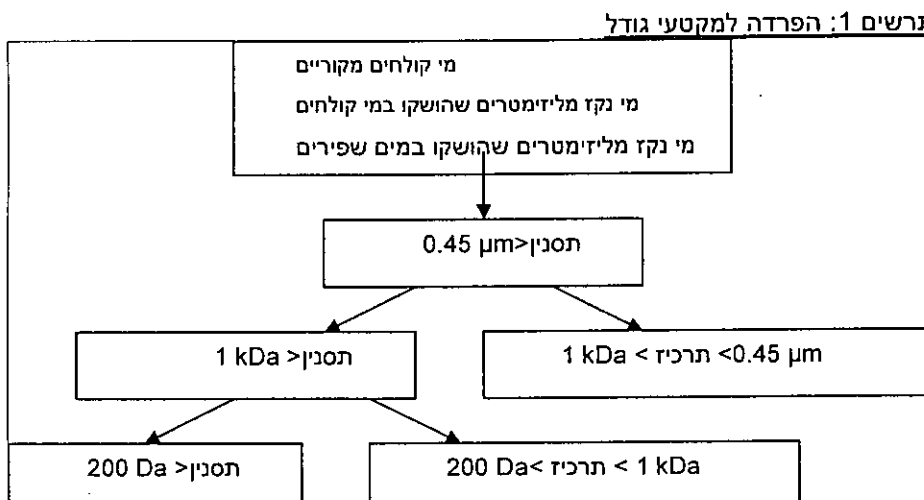
הציפיות האופטיות נבדקה בספקטראופוטומטר S-VIS-UV מתוצרת Unikon, מודול 933. מתח 933. הביליה הצעיפיות האופטיות שנבדקה באורך גל של כוח 256, חזק יוני ביליה ספציפית (SUVA). הביליה הספציפית באורך גל של כוח 250-280, מתח ממד לרכיב החומר הארכומטי בחא"ם Traina et al., 1990; Chin et al., 1994). הביליה הספציפית מחושבת ע"י חלוקת הцеיפיות האופטיות שהתקבלה ב-256 ברכיב הפא"ם, ומתקבלת ביחס של ליטר/מ"ג*מטר. בכל הדוגמאות נבדקה גם תכולת פחמן ותכולת מינרלים. תכולת הפחמן נבדקה במכשור מתוצרת Skalar, מודול TOC Analyser Formacs^{HT}. כל המכשיר בוצע עם סטנדרטים של פחמן אורגני ופחמן אי אורגני, עפ"י הפרצדורה המפורטת בחומרה המכשיר. כל החומרים מהם הוכנו הסטנדרטים היו מתוצרת Merck ודרגת ניקיון אנליטית.

תכולת המינרלים נבדקה במכשיר ICP-AES מתוצרת Spectro E, Spectro flame modula. תכולת המינרלים נבדקה במכשור מתוצרת Spectro flame modula. השוואת הוכן גם הדוגמאות עם תכולת פחמן גבוהה עברו יכול בחומצה חנקטיבית מרכזת. לשם השוואת הוכן גם תמייסות Blank שערכו עיכול בחומצה. לדוגמאות עם תכולת פחמן גבוהה הוסיף חומצה חנקטיבית

מרוכת, לריכוז סופי של 1%. כiol המכשיר בוצע ע"י בדיקת תמייסות סטנדרט המכילות את הIONS הנבדקים. כל התמייסות היו תוצרת Merck נבדרגת ניקון ל-ICP).

4.3.2 הפקת החא"ם והפרדה למקטעי גודל:

מי הקולחים המקוריים ושני סוגים מי הנקז מליזיטרים, סוננו בפיילטר העשי מפוליפרופילן, בקוטר נקבבים של פחות 0.45. היסנון בוצע בלוחץ של 1.36 אטמוספרות. התסנין המתקבל, עם $<0.45 \mu\text{m}$, הוא, עפ"י הגדרה, החומר האורגני המומס (חא"ם). בהמשך הופרד החא"ם למקטעי גודל, באמצעות שימוש בננו-פיילטרציה על מבגרנות סלקטיביות. ההפרדה הראשונה נעשתה על מمبرאנה סלקטיבית של 1kDa Pall Filtron תוצרת Koch, באמצעות Steered cell בנצח של 1.36 אטמוספרות. הפרדה נוספת של התסנין הקטן מ-1kDa, בוצעה על מمبرאנה סלקטיבית של 200Da, תוצרת Koch, באמצעות Steered cell בנצח של 2.46 אטמוספרות. מיקטעי הגודל השונים מוצגים בתרשימים 1



4.3.3 הומיאויניזציה של החא"ם :

תהליך ההומיאויניזציה בוצע על חא"ם במיקטע גודל $<1\text{kDa}$ $>\text{חא"ם} > 0.45$, ו בשלושת סוגי המים. מטרת התהליך היא להחליף קטיונים הקשורים לחומר האורגני, בנתן. באנליזת NMR (שთפורט בהמשך), ההומיאויניזציה הינה הכרחית ע"מ לנטרל את השפעת הIONS הfareamgnetים הקיימים להרכבת הפיקטים (Gélinas et al., 2001).

התהליך מתבצע במשך stirred cell בנצח 300 מ"ל, תוצרת chon micron, עם מمبرאנה סלקטיבית של 200, 200 Da, ובלחץ של 2.46 אטמוספרות עפ"י השלבים הבאים:

1. ל-120 מ"ל של דוגמת החא"ם, הוספו 30 מ"ל NaCl בריכוז M 2.5 לקבלת נפח סופי של 150 מ"ל בריכוז M NaCl 0.5 M
2. ערבוב למשך שעה
3. מיהול לנפח של 300 מ"ל
4. ערבוב למשך שעה
5. דחיקה בלחץ עד לנפח של 120 מ"ל ואיסוף תסנין מס' 1
6. הוספה 50 מ"ל NaCl בריכוז M 0.5 M
7. ערבוב למשך שעה
8. מיהול לנפח של 300 מ"ל
9. ערבוב למשך שעה
10. דחיקה בלחץ עד לנפח של 120 מ"ל ואיסוף תסנין מס' 2
11. הבאתת ה-HCl ל-10 עם NaOH
12. ערבוב למשך שעה
13. מיהול לנפח של 300 מ"ל
14. ערבוב למשך שעה
15. דחיקה בלחץ עד לנפח של 120 מ"ל ואיסוף תסנין מס' 3
16. הבאתת ה-HCl ל-3.8 עם HCl
17. ערבוב למשך שעה

18. מיהול לנפה של 300 מ"ל
19. ערבות למשך שעה
20. דחיקה בלוחץ עד לנפה של 120 מ"ל ואיסוף תסנין מס' 4
21. בדיקת החזקן הימי ומהולים נוספים ודחיקות בלוחץ, עד לקבלת 120 מ"ל של התרכיז ההומויוני עם מוליכות חשמלית של ~1 mS/cm
22. איסוף התרכיז ההומו-יוני (120 מ"ל)
23. איסוף תסנין מס' 5 (נפה התסנין תלוי במהולים לקבלת המolicות החשמלית הרצואה)

4.3.4 יישוש דוגמאות חא"ם:

דוגמאות חא"ם של התרכיז ההומויוני, במקטע הגודל $\omega = 0.45$ מ"ס², 1 kDa, וכן דוגמאות חא"ם במקטע הגודל $\omega < 1$ kDa, 200, עברו "יבש" בהקפה. החומר היבש נשמר בדסיקטור ושימוש לאנלייזות הבאות (4.3.5-4.3.6).

4.3.5 ספקטרוסקופיית H-NMR:

אנליזת פרוטונים בוצעה במכשיר NMR מתחכמת Bruker Avance 400 MHz. כ-5 מ"ג מהחומר היבש, המוסו בכ-1 מ"ל של D_2O , עד לקבלת תמיסה צוללה.

4.3.6 ספקטרוסקופיית FTIR:

אנליזת FTIR בוצעה במכשיר מתוצרת Bruker, Model 2.2 Vector. כ-2 מ"ג מהחומר היבש נכתשו עם כ-100 מ"ג KBr שאינו בולע בתחום ה-IR, עד לקבלת אבקה דקה. האבקה נדקה בלוחץ לדיסקה דקה וזה עברה אנגליזה במכשיר.

4.3.7 מיפוי ספקטראופלורימטרי תלת ממדי:

הדוגמאות שלחן בוצע המיפוי היא חא"ם במקטע הגודל $\omega = 0.45$ מ"ס², 1 kDa, וחא"ם במקטע הגודל $\omega < 1$ kDa, 200, ובשילובת סוגים. בעדרת הדוגמאות מופו לפניה הוספת נחושת, ועם ריכוז מירבי של נחושת ($pCu=3.5$). ב庆幸 ספקטראופלורימטר מתוצרת Shumadzu, RF-5301 PC, מודול PC Inc., Japan. המפות התללו ממדיות של עירור ופליטה (EEM-Excitation Emission Matrix), הופקו בטמפרטורה של 22°C, ברוחב חלון (slit) של כוח 5. הקריואט היא יציבות במהלך המדיידה וה-*decay* Lamp לא עליה על 5% ולא הייתה לו השפעה על עצמות הפלורו-ינציה היחסיות של הדוגמאות השונות. לבדיקת יציבות המכשיר נערך פיק ראמן של המים ב-частה 348. העירור נמדד בטווח אורך הגל כוח 210-590, כל 4 כוח ופליטה נבדקה בטווח אורך הגל כוח 220-590, כל כוח 2.

4.3.8 טיטרציה של דוגמאות חא"ם עם נחושת:

מטרת השלב הנוכחי הייתה לאפיין את הקירה של נחושת כמתכת מודל, אל החא"ם. הטיטרציה בוצעה עם חא"ם במקטע הגודל $\omega = 0.45$ מ"ס², 1 kDa, כפי שהוא ולאחר הומויוניזציה עם חא"ם במקטע הגודל $\omega < 1$ kDa, 200, ובשילובת סוגים. לכל דוגמת חא"ם בוצעו שתי טיטרציות (חזירות), ע"מ להשוות תוצאות.

ביצוע הטיטרציה נערך במכחות אלקטודות H₄, מד טמפרטורה, אלקטודות נחושת ספציפית (Orion 94-29) ואלקטרודת "יחום" (אלקטודות קולמל Orion 90-02). הטיפול באלקטרודות נעשה לפני כל תחילת עבודה ובסיומה. לפני תחילת העבודה האלקטרודת ה-H₄ נשטפה ויובש. ה-H₄ נבדק באמצעות אפרים (Hg4,pH4,p) ואלקטרודה כיליה במרקחה הצרר. מד הטמפרטורה גם הוא נשטף ויובש. אלקטודות הנחושת נשטפה ולאחר מכן נקתה על דף אלומיניום אוקסיד, תוצרת Orion, במשך 30 שניות.

אלקטודות היחס המכליה תמייסות מילי" (תוצרת Orion), נקתה ע"י החלפת התמיסה החיצונית (KNO_3 10% w/w) והתמיסה הפנימית (בפר Cl Ag) ולאחר מכן נשטפה ויובש. לאחר מכן נetakoda הנקשות Na(No₃) 50 מ"ל של מים הובאו למוליכות חשמלית של 1ms/cm ~ (בשימוש ריכוז הנקשות ISA של Na(No₃) מתחכמת Orion). ה-H₄ הורד ל- 4.6-4.8 בשימוש בחומצה חנקתית מהולה.

התמיסה מעורבתת והאלקטודות שעברו ניקוי מוכנסות לתוכה. ההתייצבות בקריאות מתקבלות לאחר זמן אשר השינוי בפוטנציאל האלקטרודה אותו עולה על 7 V או 0.3 ms 3 דקות. לאחר ההתייצבות מתחילה בהוספה של תמיסת נחושת חנקתית בكمויות קטנות ובריכוזים עולים עד להתייצבות סופית של הקリアות ברכוז נחושת גבוהה. הטיטרציה של הדוגמא נערכה בדومة לכילוי כאשר התמיסה שמטוורת בשלב זה מכילה חא"ם.

הכנת הדוגמא לטיטרציה, כללה את השלבים הבאים:

1. מיהול ל-20 מ"ג לליטר של פחמן אורגני.
2. הורדת ה-H₂K ל-3.8-4.0 באמצעות חומצה חנקתית ברכזו M1, ע"מ לסלק את כל הקרבונטים.
3. העלאת ה-H₂K ל-4.6 – 4.8.
4. הבאת המוליכות החשמלית ל- $\sim 1\text{ms/cm}^2$.

השלישי בוגה התמיסה במהלך הטיטרציה היה זניח (פחות מ-4%). הטיטרציה נמשכה עד להתייצבויות הקריואוט. בסיום העבודה (כמו גם בין כל צייל לטיטרציה), האלקטרודות הוצאו מעורן התמיסה וועברו ניקוי. אלקטרודות ה-H₂K נשטפה, יובשה ונשמרה בתמיסת שימור. מד הטפרטורה נשף וויבש. אלקטרודות הנוחות ואלקטרודות הייחוס נשטפו ויבשו. לאחר מכן הוכנסו לתמיסת NaEDTA ו- H_2SO_4 ברכזו M 0.025 למשך 5 דקות, נשטפו ויבשו שוב והוכנסו לתמיסת NaEDTA ברכזו M 0.1 ל-5 דקות נוספת נוספת. לבסוף בוצעה שטיפה נוספת, אלקטרודות הנוחות יובשה ונאטמה ואלקטרודות הייחוס נסגרה ונשמרה בימי מזוקקים פעמיים.

תגובה האלקטרודה לנוחות, בתמיסת היכיל, תאמת את משוואות נרכסט עבור יון דו ערכי, והייתה $\text{Cu}^{2+}/\text{Cu}^{+} \sim 28$.

קריואוט אלקטרודות הנוחות תורגם לריכוז הנוחות החופשית בתמיסה, עפ"י גנטו עיקומת היכיל. ריכוז הנוחות הקשורה חושב כהפרש בין ריכוז הנוחות הכללי שהוסף במהלך הטיטרציה, לבין ריכוז הנוחות החופשית שחושב עפ"י עיקומת היכיל. מהנתונים שהתקבלו, בmnt איזוטרמות קשירה של החא"ם לנוחות (רכיב הנוחות הקשורה כפונקציה של ריכוז הנוחות החופשי). ע"י נרמול של ריכוז הנוחות הקשורה לחידת משקל של החא"ם, ניתן היה לערך השוואה בין סוגיו הח"מ השונים.

4.3.9 אפיון משולב של החא"ם:

הדוגמאות שלן בוצע האפיון המשולב היו חא"ם במקטע הגדל ומ<0.45 kDa>חא"ם<1, וחא"ם במקטע הגדל מ<1 kDa>חא"ם<200. כל דוגמת חא"ם נמלה לריכוז פא"ם של 20ppm – (התמיסה הוכנה עפ"י השלבים המציגים בסעיף 1.3.8 ובנוסף סט של תמיסות חא"ם בתוספת ריכוזים נוספים של נוחות (Cu^{2+} 5.5-3.5)). לכל דוגמא נערכו שתי חזרות ע"מ לאפשר השוואת תוצאות.

התמיסות נבדקו ראשית באמצעות האלקטרודה הספציפית (כמפורט בסעיף 4.3.8). נמצא ריכודי הנוחות במצב חופשי ובמצב קשור. לאחר מכן התמיסות נלקחו לבדיקה בספקטרופלאורימטר (כמפורט בסעיף 4.3.7). עברו כל תמיסות חא"ם ללא נוחות, הופק ספקטרום הפליטה ונמצא אורכי הגל שב פליטת האנרגיה מכסימלית (emission). באורך גל זה הופק ספקטרום העירור ונמצא אורכי הגל לעירור (λ_{ex} , λ_{em}). התמיסות המכילות לנוחות עיררו באורך הגל שנמצאו. דוגמת חא"ם ללא נוחות נמלה פי 2 ונבדקה השפעת ריכוז החא"ם על מיקום שיין הבליעה והפליטה. הקריואוט היו יציבות במהלך המדידה, וה-*decay* Lamp לא עלה על 5% ולא הייתה לו השפעה על עצמות הפלואורצנטיה היחסית של הדוגמאות השונות. לבדיקת יציבות המקשר נבדק פיק ראמן של המים ב- ~ 348 . השוואת אופי קשיורת הנוחות של דוגמאות חא"ם שונות, מתאפשר לאחר ביטול השפעת הבליעה החלקית החזרת של الكرינה הנפלטת ע"י החא"ם (the IFE-Filter Effect).

לשם כך נמדדה היציפות האופטית של כל התמיסות באורך הגל של העירור והפליטה. התיקון בוצע בהתאם לשיטה של Gauthier et al., 1986.

5. תוצאות ודינון:

(הגרפים שאליהם מתייחסות התוצאות, מצוים בסוף 4)

5.1 אפיון בסיסי של דוגמאות החא"ם:

הча"ם של מי הקולחים ודוגמאות הנקזים (נקז שפיריים ונקי קולחים), התקבל לאחר סיכון הדוגמאות דרך פילטר בגודל נקבובים של מ"ן 0.45. האפיון הבסיסי כלל תכולת פחמן אורגני מומס-פא"ם (DOC), תכולת פחמן אי-אורגני מומס (DIC), H₂K, ציפויות אופטיות (OD) ב- ~ 256 ובליעה ספציפית (SUVA) באורך גל זה, ותכליות מתככות. התוצאות העיקריות, מרכזות בטבלה 1 (רכיב המתכוות, למעט נוחות, מופיע בנספח 1). תכולת פחמן אורגני ואי-אורגני מומס (DOC, DIC), היחס גובהה יותר בשני סוגיו הנקזים, מאשר במ"י הקולחים. מי הקולחים היכלו יותר פחמן אי-אורגני מומס, מאשר פחמן אורגני מומס. לא נصفתה עלייה ברכזו הפא"ם בנקי קולחים, לעומת נקי שפיריים. אך כל הדוגמאות היה דומה 8.2 ± 0.3 . מהצפיפות האופטית שנבדקה ב- ~ 256 , וושבה הבליעה הספציפית (SUVA), ביחידות של ליטר/ m^2meter .

התוצאות שהתקבלו היו בסדר עולה, נקי שפיריים > נקי קולחים > מ"י קולחים (0.71-1.06, 1.37-1.72, 1.77-2.05, 1.72-2.05, 1.77-2.05, 1.37-1.72, 0.71-1.06, ליטר/ m^2meter , בהתאם).

הצביע על ריכוז נמוך של חומרים אромטיים, ביחס לחא"ם משני סוג הנקזים. Zumstein and Buffle (1989) מצאו שחא"ם שמקורו בקרקע, הוא יותר אромטי מха"ם שמקורו בדוגמאות ימיות. Saadi (2006), בדקו חא"ם בדוגמאות של שפכים מטופלים (ממתקן טיהור שפכים בעיר חיפה, וממגזר השפכים המטופלים המציג בקישון), והראו ערבי SUVA ב- m^2/L 254, הדומים לערבים שהתקבלו בעובדה זו עבור מי הקולחין, ($1.07 \text{ ליטר}/\text{מ"ג}^*\text{מטר}$, בהתאמה). לאחר אינקובציה שנמשכה 2-4 ימים, בטמפרטורת החדר, הם מצאו עלייה בערכי הבליעה הספציפית, עקב פירוק מיקרוביאל סלקטיבי של חומרים בחא"ם בעלי גובה נמוכה בתחום ה-UV. חא"ם משני סוג הנקזים, הראה ערבי SUVA גבוהה יותר, האופייניים לחא"ם בקרקע. חא"ם בקרקעות, בעל אופי יותר, שמאופיינים בבליעה חזקה בתוחם המיקרוביאל, שבסופה מתרכדים החומרים האромטיים, העמידים יותר, שמאופיינים בבליעה חזקה בתוחם ה-UV, (Fiedler and Kalbitz, 2003; Guo and Chorover, 2003) Imai ו- Chorover (2002), חישבו בלעה ספציפית- m^2/L 260, עבור דוגמאות חא"ם ממוקרות שונים. בשפכים עירוניים לאחר טיפול, החא"ם הראה בלעה ספציפית גובה יותר מהחא"ם מהשפכים שלפני טיפול 1.7 לעומת 0.7 $\text{ליטר}/\text{מ"ג}^*\text{מטר}$, בהתאמה). חא"ם משפכים מטופלים הראה בלעה ספציפית נמוכה בהרבה מזו של חא"ם מקרקע של יער (0.7 לעומת 2.1 $\text{ליטר}/\text{מ"ג}^*\text{מטר}$, בהתאמה).

חא"ם מנקי שפיריים-הראה ערבי SUVA גבהים יותר מאשר חא"ם מנקי קולחים. ההסבר לתופעה Aires פשוט, ובכarragh קשור לתהליכי מיקרוביואליים המתבצעים בקרקע. יתכן שבנוסף לפירוק המיקרוביאל, ישנה גם צריכה של מגבירה את הפעולות המיקרוביאלית בקרקע. מה שגורם לרידת ערבי SUVA עבור חומרים אורגניים ובניהם חומרים אромטיים הנוצרים בעת הפירוק, מה שגורם לרידת ערבי SUVA עבור החא"ם קטנים יחסית.

רכיב הנחות בדוגמאות החא"ם מי קולחים, היה נמוך מזה שבדוגמאות הנקזים, (למעט דוגמת נקי קולחים אחת), אך בשימוש בשיטה סטטיסטית מסוג ANOVA, נמצא שההבדלים בין שלושת סוגיו החא"ם קטנים יחסית.

טבלה 1: אפיון בסיסי של חא"ם, ($\text{pm} < 0.45$), מי הקולחים ומ"ג נקי

Cu μg/L	SUVA $\text{L}/\text{mg}^*\text{m}$	OD256	pH	DIC mg/L	DOC mg/L	סימול הדוגמאות	סוג הדוגמא
4.0	0.71	0.20	8.2	58	82	EW1	מי קולחים-1
7.7	0.73	0.19	8.5	48	62	EW2	מי קולחים-2
6.2	1.06	0.18	8.4	71	17	EW3	מי קולחים-3
5.7	0.71	0.20	7.9	35	28	EW4	מי קולחים-4
25.6	1.77	2.89	7.9	89	163	TL1	נקז שפירם-1
11.8	2.05	3.63	8.2	117	177	TL2	נקז שפירם-2
9.8	2.02	4.70	8.3	125	233	TL3	נקז שפירם-3
10.6	1.99	5.93	8.4	224	298	TL4	נקז שפירם-4
3.8	1.37	3.67	8.1	249	268	EL1	נקז קולחים-1
47.7	1.72	5.49	8.3	270	319	EL2	נקז קולחים-2
18.1	1.71	3.77	8.2	169	220	EL3	נקז קולחים-3
11.9	1.65	2.66	8.1	112	161	EL4	נקז קולחים-4

* EW- מי קולחים, TL- נקי שפירם, EL- נקי קולחים

5.2 הפקת החא"ם והפרדתנו למקטעי גודל:

רוב החא"ם היה מצוי בתסנין הקטן מ- 1kDa ועד 0.45pm חא"ם $< 1\text{kDa}$, אפיון בסיסי של מקטעי הגודל בין 0.45pm ו- 1kDa . חא"ם $> 1\text{kDa}$, 200 Da, מופיעים בנספח 2.

5.3 הומויוניציה של דוגמאות חא"ם במקטעי הגודל בין 0.45pm ו- 1kDa :

תהליך ההומויוניציה בוצע לחא"ם במקטעי הגודל בין 0.45pm ו- 1kDa . מטרת התהליך הייתה להרוויח את החא"ם בנתן, ע"מ להחליף מתקנות הקשורות לחא"ם בנתן שמאופיין בקשרו של חלשה יחסית לחא"ם. דוגמאות חא"ם לפני ואחרי ההומויוניציה, עברו אפיון בסיסי. התוצאות מוצגות בנספח 3, ומצאות בבחירת מוצגות בטבלה 2. רצד הפא"ם ירד לאחר התהליך. מכיוון שההומויוניציה בוצעה ע"י שימוש בממברנה בגודל נקבובים של Da 200, ניתן לומר שהפא"ם שאביד בתהליך היה קטן מ-200 Da. ה-HPLC גם הוא ירד לאחר התהליך. ערבי SUVA, באורך גל חותם 256, ירדו לחא"ם מי קולחים לאחר תהליך ההומויוניציה, אך עברו שני סוג הנקזים נצפתה עלייה בערכיהם אלה לאחר התהליך. המ tackות ששולקו

בenthalrik, היו בעיקר מתכות מאקרו (K, Mg, Ca). עברו מתכת המיקרו (מתכת המעבר), הסילוק היה פחות עיל.

טבלה 2: אפיון בסיסי של דוגמאות חא"מ לפני ואחרי הומויוניזציה:

סימול הדוגמא*	DOC mg/L	pH	OD ₂₅₆	SUVA L/mg*m	Cu μg/L	Fe μg/L	Mg mg/L	Ca mg/L
EW2-BH	89	6.1	0.96	1.08	31.0	1480.0	25.0	62.5
EW2-AH	63	5.2	0.34	0.54	20.8	307.0	4.6	10.0
EW4-BH	38	5.9	0.54	1.42	16.7	130.0	23.8	57.6
EW4-AH	37	5.5	0.46	1.24	nd	nd	nd	nd
TL1-BH	404	5.4	11.0	2.72	38.5	330.3	41.7	55.7
TL1-AH	332	4.5	10.2	3.07	6.7	388.0	<IDL	<IDL
TL3-BH	456	5.8	16.1	3.53	88.5	602.8	52.5	115.3
TL3-AH	423	5.0	15.9	3.76	76.9	354.7	14.5	29.7
EL1-BH	775	6.9	22.2	2.86	27.0	4526.2	60.6	68.4
EL1-AH	564	4.1	21.4	3.79	25.7	3610.0	11.1	19.0
EL3-BH	705	5.5	24.4	3.46	118.0	444.7	67.5	54.5
EL3-AH	611	4.7	22.0	3.60	93.9	173.8	14.2	13.8

* EW- מי קולחין, TL- נזק שפירים, EL- נזק קולחין, AH- לפני הומויוניזציה, AH- לאחר הומויוניזציה, pH- לא בדך

5.4 אנליזת פרוטונים NMR-H¹:

ההומויוניזציה, (ע"מ לסלק יוני מתכת פאראמגנטים שעולים להפריע באנליזה), כמו כן בוצעה אנליזה למקטע הגודל Da¹-kDa Da²⁰⁰. אינטגרציה של הפיקים נעשתה עפ"י הפיק של המינימום האромטיים, שנורמל ל-1. סה"כ בוצעו 4 אינטגרציות (לא כולל הפיק של המינימום שנמצא ב-3.6 ppm (4.6). הספקטרת של דוגמאות החא"מ השונות, מרחכדים באיזור 1. איזור 2-3 ppm, מתייחס למינימים אליפטיים, איזור 2-3, מתייחס למינימים ליד קבוצות מושכותALKטרונים כגון אליליים, קרבוניל, קרבוקסיל, או טבעות אромטיות. איזור 3-4.6 ppm, מתייחס למינימים ליד חמצן כגון מתוקס, כהיל, אלדהיד, פנול וקרבוקסיל. איזור 6.2-9 ppm, מתייחס לטבעות אромטיות. ערכי האינטגרלים, והיחסים בין הקבוצות השונות, מרכזים בטבלה 3.

טבלה 3: נתוני האינטגרציה עבור אניליזת NMR-H¹:

מקטע גודל	סימול הדוגמא*	מייננס אליפטי 0.5-2 ppm	מייננס אליפטי 2-3 ppm	מייננס ליד קב' אלק' 2-3 ppm	מייננס ליד קב' חמצן 3-4.6 ppm	מייננס אורומיטים 6.2-9 ppm	אליפטי/ מייננס ליד קב' מושכות אלק'	אורומיט/ מייננס ליד קב' מושכות אלק'	אורומיט/ אליפטי	אורומיט/ מייננס ליד קב'	ארכומיט/ מייננס ליד קב'
1kDa<מ<0.45μm	EW2	4.779	2.075	4.957	1	0.209	0.482	0.202	0.482	0.209	0.202
	EW4	3.164	1.467	4.256	1	0.316	0.682	0.235	0.682	0.316	0.235
	TL1	1.868	0.773	3.317	1	0.535	1.294	0.301	0.535	1.294	0.301
	TL3	1.621	0.791	1.610	1	0.617	1.264	0.621	0.617	1.264	0.621
	EL1	1.651	0.857	2.685	1	0.606	1.167	0.372	0.606	1.167	0.372
	EL3	1.301	0.820	1.810	1	0.769	1.220	0.552	0.769	1.220	0.552
	EW2	3.434	1.425	1.634	1	0.291	0.702	0.612	0.291	0.702	0.612
	EW4	2.443	2.518	3.081	1	0.409	0.397	0.325	0.409	0.397	0.325
	TL1	2.905	0.849	1.197	1	0.344	1.178	0.835	0.344	1.178	0.835
	TL2	5.252	1.930	0.757	1	0.190	0.518	1.321	0.190	0.518	1.321
200Da<מ<1kDa	TL3	10.640	4.886	2.417	1	0.094	0.205	0.414	0.094	0.205	0.414
	TL4	4.596	3.432	3.216	1	0.218	0.291	0.311	0.218	0.291	0.311
	EL1	2.156	0.873	0.590	1	0.464	1.145	1.695	0.464	1.145	1.695
	EL3	7.986	4.316	4.019	1	0.125	0.232	0.249	0.125	0.232	0.249

בחא"מ ממוקטע הגדל $\text{0.45μm} < \text{חא"מ} < 1\text{kDa}$, (איור 1 א'), נמצאו הבדלים בין מי הקולחים לבין מי הנזק משתי סוג הר השקיות. חא"מ מנזק קולחים דומה בהרכבו לחא"מ מנזק שפירים. חא"מ ממי הקולחים נמצא יותר אליפטי מאשר סוג הנזקים. כמו כן, ניתן לראות שחא"מ ממי הקולחים יותר הידרופילי ומכל יותר קבוצות פולאריות מאשר מימי סוג הנזקים. תוצאות דומות נצפו ע"י Gigliotti וחוברוי, (1997), לאחר שימוש בקומפוזט שהופק משפכים עירוניים במשך 6 שנים. בהשוואה בין חא"מ מקרקע שטופלה בקומפוזט, לבין חא"מ מהקומפוזט עצמו, נמצא שחא"מ מהקומפוזט היה יותר אליפטי, עם ריכוז מימיים גדול יותר ליד קבוצות מושכות אלקטրונים (יותר פולארא), והכל פחות מימיים אלומיטים. בחא"מ מקרקע שטופלה בקומפוזט, ריכוז המימיים ליד קב' מושכות אלקטרונים ואילו שלא חמצן עלה, לעומת חא"מ מקרקע ללא קומפוזט.

בחא"מ ממוקטע הגדל $1\text{kDa} < \text{חא"מ} < 200\text{Da}$, (איור 1 ב'), לא נמצאו הבדלים בין מי הקולחים לשני סוג הנזקים, או בין נזק קולחים לנזק שפירים.

בהשוואה בין שני ממוקטי הגדל, במוקטע הגדל הקטן נמצא שעבור מי הקולחים הייתה עליה ביריכוז המימיים הארומיטים ביחס לרכיב המימיים האליפטיים. בוגד לכר, עבור חא"מ משני סוג הנזקים במוקטע הגדל הקטן, נמצא ירידה בריכוז המימיים הארומיטים ביחס לרכיב המימיים האליפטיים. כמו כן מוקטע הגדל הקטן היה בעל פיקטים מעט יותר ברורים, בעיקר בחלוקת הארומיט. ניתן לומר שחא"מ במוקטע הגדל הקטן שונה בהרכבו מהחא"מ מהמקטע הגדל יותר.

5.5 אניליזת FTIR:

הספקטררה של דוגמאות החא"מ השונות, מרוכזים באיור 2. נתוני הפיקים המרכזיים שנמצאו ואפיונים מופיעים בטבלה 4. בכל דוגמאות החא"מ ובשתי ממוקטי הגדל, נמצא פיק רחב באורך $3400-3300\text{ cm}^{-1}$, (A), שמאפיין מים הקשור לחמצן או לחנקן, וכן להניח שבפיק זה ישנה גם תרומה מסוימת של מימן השיר למים שלא סולקו עד תום בתהליך הייבוש. משום כך לא נרוכה השוואה של פיק זה בין דוגמאות החא"מ השונות.

טבלה 4: אפיון הפיקים המתכתבים מאניליזת FTIR
(עפ"י Silverstein et al., 1991; Solomon and Fryhle, 2004)

מיקום הפיק cm^{-1}	אפיקן הפיק	אפיקן המקסימום הפיק
00-3300-Pik רחב	A	Mition של H-O (כהל, פנול, מים או קב' קרבוקסילית), או Mition H-N באמין
2940-2850	B	Mition H-C של CH_3 או CH_2 אלילן או ארומט, O=C=C באלהיד או קטן,
1650-1620	C	-COO קב' קרבוקסילית
1400-1380	D	CH_2 , R-COO-
1150-1090	E	O-C של כהל או פוליסוכרם

בחא"מ ממוקטע הגדל $\text{Da} < 0.45$ (איור 2 א'), ניתן לראות את הבדלים בין מי הקולחים לבין מי הנקדים. בחא"מ מי הקולחים ניתן לראות תרומה דומה של פיקים C, E, F, בעוד שפיק D נמצא קטן יותר. במי הנקד משכי סוגיה השקוווט, פיק C בעל תרומה רבה יותר מאשר פיקים D ו-E. פיק E בעל תרומה נמוכה יותר מאשר C. מכך ניתן לומר שהוא שכא"מ משני סוגיה הנקד ממוקטע גודל זה, הוא יותר ארומטי ופחות מחומצן מאשר מהא"מ מי הקולחים.

בחא"מ ממוקטע הגדל $\text{Da} > 1$ (איור 2 ב'), ניתן לראות פיקים אריך תרומתם הייתה שונה. ממוקטע גודל זה ניתן לראות עיקרית של פיק E בכל סוגיה החא"מ, ככלומר ממוקטע גודל זה החא"מ יותר מחומצן מאשר ממוקטע הגדל יותר. במילוי הקולחים ישנה תרומה רבה יותר של פיק D, בעוד שבשני סוגיה הנקדים תרומתו של פיק D קטנה יותר. בהשוואה בין ממוקטע גודל זה למוקטע הגדל יותר, נצפתה ירידת עצמת פיק B ובמרכיב הדוגמאות לא ניתן היה להזוהו. מכאן ניתן לומר שהוא שכא"מ ממוקטע הגדל הקטן יותר מחומצן ופחות אליפטי מאשר החא"מ ממוקטע הגדל. מי הקולחים נמצאו יותר אליפטיים ומוחומצנים בהשוואה למי הנקד ממוקטע גודל זה. מכיוון שכמות הפיקים אינן נעשה ע"י חישוב מדוקין, ניתן טעויות בהערכת התרומה היחסית של כל פיק, אך באופן כללי ניתן לומר שהסתפקטרה שהתקבלה דומה למדוחות בספרות עברות החא"מ מהקרקע ומשפכים שונים.

בעבודה של Khalaf (2003), נבדקו ממוקטעים שונים של חומצות הומיאוטים שהופקו מהקרקע. בהשוואה בין חומצות הומיאוטים ממוקטע הגדל 1-3 kDa לביון חומצות הומיאוטים שלא עברו הפרדת גודל או חומצות הומיאוטים לאחר סינון בפילטר עם 0.2, ניתן היה לצפות בירידה בעצמת הפיק באיזור $2920-2850 \text{ cm}^{-1}$ שמצוין מיתוח של CH_3 ו- CH_2 אליפטיים, כמו כן נצפתה עליה בעצמת הפיק באיזור $1400-1380 \text{ cm}^{-1}$ המצוין ויברציה של קבוצת -COO^- . R-COO⁻ NMR (¹³C, ¹⁹F) ו-UV-VIS (C-4). נקבע שישירה בגודל המולרי גורמת לירידה ביריכוז החומרים האליפטיים, ועליה בפועל ארומטיות וביריכוז החומרים הארומטיים.

בחא"מ שהופק מהפסולת הנידלית המתקבלת ממפעלי לעיבוד עץ (עיבוד העץ ליצירת ניר או סיב עץ לשימושים אחרים), מצאו Duarte וחבריו (2003), שירידה בגודל המולקולרי של החא"מ, הייתה מלואה בירידה בעצמת הפיקים באיזור 1518 cm^{-1} ובאיזור 1114 cm^{-1} . הפיק הראשון מצוין קשר C=C ארומטי (בzdoma לפיק C בטבלה 4 שנמצא בתדרות נמוכה יותר), והפיק השני מצוין קשר O-C (בzdoma לפיק E בטבלה 4). מסקנתם הייתה שכא"מ קטן מולקולרי מכל ריכוז גובה יותר של חומרים ארומטיים, מאשר החא"מ גודל מולקולרי.

מחקריהם ניספרים הראו שכא"מ מקומפוסט לאחר תקופות בשילוב שונות, (קומפוסט שעובר פרוק מיקרובייאלי בתנאים אירוביים, "ע"מ ל"צבו"), הופך לפחות אליפטי ויתר ארומטי ומכל פחوت פוליסוכרים, (ירידה בעצמת הפיקים המסומנים בטבלה 4 בתדרות B-E), Hsu et al., 1999; Chefetz et al., 1998; Pullilicci et al., 2002). מצינו שכא"מ מקומפוסט לאחר בשילוב נוגדים גודלה לכא"מ מהקרקע, מכיוון שבשני המקרים החא"מ עבר פרוק מיקרובייאלי שבמסגרתו נוגדים החומרים העמידים יותר (בעיקר חומרים ארומטיים).

5.6 אפיון פלוארסצנטי תלת ממדי (EEM):

בשלב זה, נבנו מיפוי פלוארסצנטיות תלת ממדיות של החא"מ ללא תוספת נחושת, ביריכוז פא"מ קבוע של $\text{ppm} \sim 20$, (איור 3). הערך נעשה בסתווא אורכי גל של כוח 590-210, והפליטה בטווח אורכי גל של כוח 590-220. בטבלה 5 מצגיה חלוקה של המפה הפלוארסצנטית ל-5 אזורים המייצגים קבוצות חומרים שונים, עפ"י Chen וחבריו (2003). חלוקת המפה לאזורים אינה מוחלטת, וביעיר ההפרדה בין חומרים דמויי חומצות הומיאוטים, לחומרים דמויי חומצות פוליביות. שני סוגיה החומרים, מאופיינים באורך גל לפילטה גובהיים

מ-כוח 380, אך אורכי גל לעירור עשויים להשתנות בהתאם למקור החא"מ, Coble, 1996; Her et al., 2003; Baker and Spencer, 2004) משומם קר, הפיקים שזוועו באורך גל לפילטה הגבהים מ-כוח 380, אופיינו כחומרים הומיאוטים, ללא הפרדה בין חומרים דמויי חומצות הומיאוטים לחומרים דמויי חומצות פוליביות.

טבלה 5: אפיון הפיקים במפה הפלוארסצנטית (Chen et al., 2003)

אפיון הפיקים	פליטה	עירור כוח
חלבוניים ארומטיים-1	200-250	280-330
חלבוניים ארומטיים-2	200-250	330-380
חומרים דמויי חומצות פוליביות	200-250	380-550
תוצר פרוק מיקרוביאלים מסיסים	250-280	280-380
חומרים דמויי חומצות פוליביות	250>	380-550

5.6.1 חא"מ במקטע גודל $\leq 0.45 \text{ kDa}$:

באיור 3 א', מופעوت המפות הפלואורסצנטיות של דוגמאות החא"מ השונות במקטע גודל זה. הדמיון בין חא"מ מיי קולחים וחא"מ מנקי שפירים ומנקז קולחים, ניכר במכוחות שני פיקים מרכדיים, עם עירור באורך גל כוח 260-280, nm 330-335, ופליטה באורך גל כוח 430-450. פיקים פלאורסצנטיים באורך גל דומים דווחו בספרות עברו חא"מ ממקוחות שונים, ומיצגים חומרים דמו"י חומצות פוליביות/הומיות. יחד עם זאת, עצמת הפיקים הייתה גבוהה יותר בחא"מ מיי קולחים ומנקז קולחים, יותר נמוכה בחא"מ מנקי שפירים. בנוסף לכך, נמצא "חוד בולט עברו חא"מ מיי קולחים, שבן ניתן היה לראות פיק נוסף, הממוקם בעירור של כוח 274-283 ובפליטה של כוח 324-256, כמו כן נראה פיק נוסף, פחות ברור, ("כתף"), הממוקם בעירור באורך כוח 250 ובפליטה באורך כוח 360. עפ"י טבלה 5, הפיקים הכל' מייצגים תוצר פירוק מיקרוביאלים מסוימים וחלבונים ארומטיים, בהתאם. תוצאות דומות נמצאו בספרות עברו חא"מ מיי קולחים ומבוצה (Westerhoff et al., 2001; Chen et al., 2003). איור 4 א' מראה את מקומ הפיקים הפלואורסצנטיים עברו דוגמאות חא"מ במקטע הגדל הנידון. הפיקים התררכזו באזורים דומים במפה הפלואורסצנטית (אזורים A, B, C). אזורים A, ו-B, מייצגים חומרים דמו"י חומצות הומיות/פוליביות, ואזור C מייצג תוצר פירוק מיקרוביאלים מסוימים. ניתן להבחין שהפליטה עברו חא"מ מיי הקולחים, מתרכשת באורך גל נמוכים יותר מאשר סוג הנקזים. בין שני סוגי הנקזים, ניתן לראות שעירור חא"מ מנקי שפירים, הפליטה מתרכשת באורך גל נמוכים יותר מהפליטה עברו חא"מ מנקי קולחים.

איור 5 א' מציג מפות פלאורסצנטיות של החא"מ בתוספת ריכוז מרבי של נחושת (3.5% Cu). ניתן לראות שתוספת הנחושת גורמת לירידה בעוצמת הפיקים, אך לא משנה את מקומם במפה. ירידה בעוצמת הפיקים הפלואורסצנטיים במכוחות נחושת, הינה צפיה, ומבעת מהיווצרות קומפלקס נחושת-חא"מ, שאינו פלאורסצנטי, (הרחבה בנושא זה מוצאה בסעיף 5.7.2).

5.6.2 חא"מ במקטע גודל $\geq 1 \text{ kDa}$:

במקטע גודל זה, זוהו פיקים הדומים במקומם לפיקים שעשו במקטע הגדל הקודם (איור 3 ב'). גם כאן נמצא בכל דוגמאות החא"מ שני פיקים מרכדיים, עם עירור בטוחה כוח 320-340, 245-265, כוח 300-320, ופליטה כוח 300-320, ופליטה כוח 270-280, ומינימום כוח 220. פיק בולט בעירור כוח 310, ושושכו כאמור לתוצר פירוק מיקרוביאלים מסוימים וחלבונים ארומטיים, בהתאם. עצמת הפיקים בדוגמאות של שני סוגי הנקזים, הייתה גבוהה מעצמתם במקטע הגדל הקודם. הדבר מציין שכא"מ קטן מולקולרי בנקזים, מכל יתר קבוצות פלאורסצנטיות מכא"מ גדול מולקולרי. בחא"מ מיי הקולחים, לא נצפה ההבדל בעוצמת הפיקים בין שני מקטעי הגדל. איור 4 ב' מציג את מקומ הפיקים הפלואורסצנטיים עברו חא"מ במקטע הגדל הנידון. בימי הקולחים, הפיק המשויך לחומצות הומיות/פוליביות (A), נמצא בעירור באורך גל נמוכים יותר מאשר סוג הנקזים. הפיק המשויך לחומצות הומיות/פוליביות (B), נמצא בפליטה באורך גל נמוכים יותר בחא"מ מיי קולחים מאשר בחא"מ מנשי סוג הנקזים. גם נצפה שינוי במפה הפלואורסצנטית של החא"מ בתוספת ריכוז מרבי (איור 5 ב').

על סמך הדמיון הרב בין חא"מ מנקי שפירים, לבין חא"מ מנקי קולחים (למעט הבדל בעוצמת הפיקים בחא"מ ממקטע הגדל $\geq 1 \text{ kDa}$), ניתן לומר שישנן קבוצות פלאורסצנטיות דומות בשני סוגי הנקזים. לעומת זאת, חא"מ מיי קולחים מכיל קבוצות פלאורסצנטיות שאין מצויות בחא"מ מנשי סוג הנקזים, ולכן באופן כללי ניתן לומר ששא"מ זה שונה בתכונותיו הפלואורסצנטיות, לעומת כך שהוא מחה"מ מנשי סוג הנקזים. זוהי תמייה נוספת בנתונים שהתקבלו מאנליזת NMR-H¹ ואנליזת FTIR.

5.7 אפיון האינטראקציות בין חא"מ לנחושת:

5.7.1 איזוטרמות קשירה בין חא"מ לנחושת:

מהלך הטיטרציה מתואר בפרק חומרים ושיטות. דוגמאות חא"מ מיי קולחים ומשי סוג הנקזים, (במקטע גודל כוח $\leq 0.45 \text{ kDa}$) 1 לפני ואחרי הומינויציה, ומקטע גודל $\geq 1 \text{ kDa}$ (200 Da), טוטרו בעדרת תמיית נחושת ברכדים עליים (9-3 Cu_{total}), כך שרכיב הנחושת החופשית נמדד בטוחה Cu₇₋₃. איזוטרמת הקשירה בין החא"מ לנחושת, מתוארת כרכיב הנחושת הקשורה ליחידת משקל של פא"מ (mol/kg DOC), כתלות ברכיב הנחושת החופשית (L/mol). איזוטרמת הקשירה מוצגת באירור 6, מקדם החלוקה K_d , המציין את היחס בין ריכוז הנחושת הקשורה ליחידת משקל של פא"מ (mol/kg "פ"א"מ) לבין ריכוז הנחושת החופשית בתמיסה (mol/L), כתלות ברכיב הנחושת הקשורה (mol/kg "פ"א"מ), מוצגת באירור 7. במקטע הגדל כוח $\leq 0.45 \text{ kDa}$ 1, ריכוז הנחושת הקשורה עברו חא"מ מיי קולחים, נזק שפירים ונזק קולחים, הייתה בטוחים: 0.18-3.25, 2.58-2.48, 2.58-7.20, פא"מ, בהתאם. הסטיות בין דוגמאות החא"מ הייתה בטוחים, אך עדין ניתן להבחין ששא"מ מיי הקולחים קשור פחות לנחושת בחשווה לשני סוג הנקזים, ומקדמי החלוקה עבור מיי הקולחים היו נמוכים מ-1E-6 kg/liter, בעוד שכא"מ

מנקדים, היה עם מקדמי חלקה גבוהים יותר (E7-1E6). ההבדלים בין חא"מ משני סוגים הננקדים, היו קטנים, אך עדין ניתן היה להבחין שחא"מ מנקד קולחים קשור יותר לנוחות מאשר חא"מ מנקד קולחים. באותו מקטע גודל לאחר הומויוניציה, נמצא קולחים קשור פחות לנוחות מאשר חא"מ מנקד קולחים. במקורה זה, לא נמצא הבדלים בולטים בין שני סוגי הננקדים. לאחר הומויוניציה, ריכוז הנוחות הקשורה עבור חא"מ מי קולחים, נקז שפירם ונקז קולחים הינו הינה בטוחה 0.55-0.53-0.71, 0.17-0.35, 0.81 מול/ק"ג פא"מ, בהתאם. איזוטרמות הקשירה עבור חא"מ במקטע זה, לאחר הומויוניציה, מראות התנהגות לא אופיינית בירכוז נוחות גבויים. רידזה של איזוטרמת הקשירה בירכוז נוחות גבויים Cu(5). יכול להיות מוסברת כסוגה בקריאות האלקטרודה בירכוזים אלו. הבדלים קטנים בין ריכוז הנוחות הכללי, לריכוז הנוחות החופשית שנמדד בעדרת האלקטרודה, גורמים לשגיאות גדוות בירכוז הנוחות הקשורה. כמו כן, מכיוון שבירכוז נוחות גבויים, קבועות קבועות בחא"מ רוויות בנוחות, "תכל שאלקטרודה" קוראת" חלק מהנוחות הקשורה ומתייחסת אליה כנוחות חופשית.

בתהילך הומויוניציה, נתן מחליף אטרים קורסים בחא"מ, שמאוכללים במתכוות אחרות. הרווחה בתהיל, יכולה לשנות גם את המבנה המורחבי של החא"מ. "תכל שהשני מבני המרחבי, גורם לפחות אטרים בחא"מ להיות זמינים לקשרות נוחות ולכן חא"מ שעבר הומויוניציה, קשור פחות לנוחות מאשר חא"מ שלא עבר את התהילך. סיבה נוספת לקשירה נמוכה יותר של נוחות, בחא"מ אחריו הומויוניציה, יכולה להיות קשורה לאיוב מרכיבים קוריירים נוחות בתהילך. עפ"י ריכוז פא"מ לפניו ואחריו הומויוניציה, (טבלה 2), אכן ניתן לראות שהיא איוב פא"מ בתהילך. הפא"מ שאבד בתהילך, היה קtan מולקולרי, Da<200. תכונות הקשירה של חא"מ בגודל זה לנוחות, או מתכוות אחרות, לא מצוי בספרות, אך ידוע שחא"מ קtan מולקולרי, בעל יכולת קשירה גבוהה יותר מהא"מ גדול מולקולרי, (Han and Thompson, 1999).

איזוטרמות הקשירה עבור חא"מ קtan מולקולרי במחקרים, Da<1kDa<200, הראו קשירה נמוכה יותר לנוחות מהא"מ גדול מולקולרי, $\text{Da} < 0.45 \text{ kDa}$, ולא מצוי הבדלים בין חא"מ מהמקורות השונים. "תכל שהסיבה לכך היא שוב איוב של מרכיבים קטנים Da<200, שנשטו במהלך הפרדת הגודל.

מחקרדים רבים תארו את ההשפעה של שימוש בבזוז ודשנים מוצקים, על התנהגות נוחות ומתכוות אחרות בקרקע. בניסוי הדרגה (7, 3 שנים), של קרקען ישראליות טוטופלן בভوت שפכים, (Oliver et al, 2005) ה-3, נמצאה שהתפלגות המתכוות (Cu, Ni, Cd, Pb, Zn), בקרקען לאחר שימוש בבזוז ו-3 שנות הדגרה, הייתה אופיינית לקרקעות עצמן, למרות נוספת כמות גדולה של הבזוז לקרקע. הזינוק והמסירות של מרבית המתכוות, לא עלו במהלך התהילך הדגרה למורות רידזה בירכוז הפחמן הארגני, שמייחסת לביזוגרדציה. ריכוז הנוחות החופשית נותר ללא שינוי לאחר הדגרה בת 7 שנים, המסקנה מכך הייתה שתומסת בזוז לקרקע, אינה מושפעה על מסילות זומיניות של נוחות, ואין מהו סכנה סיבתית.

גם Bolan וחבריו, (2003), מצאו שתומסת בזוז לקרקעת מצפון ניו-澤ילנד, גורמה לרידזה בירכוז Cd²⁺ המטיס והחליף בקרקע (²⁺Cd²⁺ חופשי בתמיסה), ועליליה בירכוז Cd²⁺ הקשור לחומרים אורגניים. הרעלות של Cd לצמחייה לאחר תומסת בזוז רידזה, מפני שריכוז המתכת החופשית הזמנית בקרקע, ידעה. בהשוואה בין חא"מ מקרקעת, לחא"מ שהופק מפסולת חותן חזרים, (Businelli et al, 1999), נמצא קשרירות נוחות בחא"מ מפסולת החזרים, הייתה ברמה דומה לקשירה של חומצות הומיאוט מהא"מ בקרקע. חומצות פולביות מהקרקע, לעומת קשירה גבוהה יותר. ההסבר לתופעה נקשר לריכוז קבוצות קרבוקסיליות בחא"מ, שאחריות על קשירות נוחות, ומוציאות בירכוזים גבויים יותר בחומצות פולביות.

במחקרים קודמים, מי הקולחים שנבדקו היו לרוב באיכות נמוכה. קולחים באיכות נמוכה, מכילים ריכוז גבוה יותר של חא"מ ומתכוות, מkolחים באיכות גבוהה (שהם נעשה שימוש במחקר זה). השימוש בkolחים באיכות נמוכה, נמצא כגורם מזרת הנעת מתכוות בקרקע, כתוצאה מהיווצרות קומפלקסים אורגניים מסוימים, שתונעתם בקרקע גבוהה. נמצא שבחשquia במיל קולחים באיכות נמוכה במקסיקו, הייתה עליה בירכוז הפחמן הארגני הכללי והמשיס, שכבות העליונות של הקרקע, ונפה דיזוז בהנעמת מתכוות בבדות בקרקע, (Siebe and Fischer, 1996). במחקר דומה למחקר הנכחי (ניסוי ליזימטרים), (Fine et al, 2005) נמצא שבקרקע חוליות שטופלו בזוז או במיל קולחים מאיכות ביטונית, הייתה דליפה מזענית של נוחות בקרקע. נקיים מליזימטרים שהושקו במיל קולחים, לעומת אילו שהושקו במיל שפירם, הכליל ריכוז דומה של נוחות. השקיה במיל קולחים באיכות גבוהה, כפי שנעשה במחקרים, אינה גורמת להגדלת הקשירה של החא"מ לנוחות בקרקע. ככל הנראה, השקיה מיבוררת (גירעונית), מאפשרת מירוביאלית בקרקע המושקית וגורמת לביזוגרדציה של החא"מ. כתוצאה מיפורק מירובייאלי, לאחר זמן השהות של מי הקולחים בקרקע, הם מבדים מאופיים הייחודי, והופכים לדומים יותר לחא"מ בקרקע. משום כך לא נמצא הבדל בין הננקדים שהתקבלו לאחר השקיה במיל שפירם, לעומת הננקדים שהתקבלו לאחר השקיה במיל קולחים.

5.7.2 אפיון משולב של החא"מ:

הapiro המשולב כל שימוש בשיטת האלקטרודה הספציפית, ובנוסף בשיטת הדיכוי הפלואורנסנטי (FQ). מנתוני האלקטרודה הספציפית נמצאו ריכוז הנוחות החופשית, וחושב הריכוז של הנוחות

הקשרורה לחא"מ. בשיטת הדיכי הפלואורסצנטי, נמצאה הירידה בעצמת הפלואורסצנטיה, כתועצה מתוספת נוחשת ביריכוזים עליים. ראשית נבדקו דוגמאות החא"מ ללא תוספת נוחשת ונקבעו אורי הגל לעירור ופליטה שבמה התקבלה עצמת הפלואורסצנטיה המרבית. אורי הגל לעירור ופליטה, שנמצאו עבור דוגמאות חא"מ ללא נוחשת, מוצגים בטבלה 6. גוף של עירור כנגד פליטה, מוצג באיזור 8, עבר חא"מ משני מקטעי הגודל, ובשתי אורכי הגל לעירור. לא היה ניתן להבחין בהבדלים בין סוגי החא"מ השונים.

עצמת הפלואורסצנטיה של חא"מ ללא תוספת נוחשת, המונומלת לרכיב הפא"מ, מוצגת באיזור 9, (לאחר תיקון IFE המוסף בפרק חומרים ושיטות). בשני מקטעי הגודל, לא נמצא הבדלים בין החא"מ הדוגמאות השונות. תוספת נוחשת לחא"מ, גרמה לירידה בעצמת הפלואורסצנטיה, שמיוחסת להיווצרות קומפלקס חא"מ-נוחשת, שניינו פלאורסצנטי (אייר 10).

דיכי בעצמת הפלואורסצנטיה של חא"מ מקורות טבעיים, בנוכחות יוני נוחשת, ידוע מהספרות, (Akagi and Zsolnay, 2005; Dudal et al., 2005) במרבית המחקרים, עיבוד הנתונים געשה תוך שימוש במודלים, ובהתאם על הנתונים המתකבים משיטת הדיכי הפלואורסצנטי, חשבו פרמטרים כגון מקדמי קשירה ודרגת הקומפלקסציה.

באנליזה שבוצעה עבור חומצות הומיות מאגמים ונגררות, (Cabaniss and Shuman, 1986, 1988) החוקרים ציינו שהשימוש בשיטת הדיכי הפלואורסצנטי, להערכת אופי הקשירה של חא"מ לנוחשת, אינה מספקת. הם טענו שההשערות שנערכו בעבודות קודמות, מהוות מקור לשגיאות רבות ולן הציעו את השימוש באלקטרודות נוחשת ספציפית לקביעת ריכוז הנוחשת הקשורה. גם במחקר זה, לא געשה שימוש במודלים, ועיבוד הנתונים עבור הדיכי הפלואורסצנטי, געשה בשילוב הנתונים המתתקבים מטטרציה של חא"מ עם נוחשת. גרפים של עצמת הפלואורסצנטיה היחסית (F/F_0), כתלות ברכיב נוחשת הקשורה, מוצגים באיזור 11. נמצא כי הדיכי בעצמת הפלואורסצנטיה עבור חא"מ מי קולחים, נמוך הרבה יותר מהדיכי בעצמת הפלואורסצנטיה עבור חא"מ משני סוגי הנקדים. מכך ניתן להסיק שכא"מ מי קולחים, קשור לנוחשת על אתרים שאינם פלאורסצנטים, או בסביבה פוחות פלאורסצנטית, לעומתם חא"מ מי נקץ שאותו הקשירה שלו לנוחשת, הם בעיקר פלאורסצנטים. בספרות לא נמצא עבודות המשוואות בין דיכי הפלואורסצנטי של חא"מ מקולחים לעומתם חא"מ מהקרקע, אך Reynolds and Ahmad (1995), מצאו 40% דיכי בעצמת הפלואורסצנטיה, עבור חא"מ מי שפכים, בנוכחות 0.2 mM/ליטר של Cu²⁺ או Ni²⁺. חא"מ משפכים מטופלים לעומתם דיכי משמעתי בעצמת הפלואורסצנטיה בנוכחות מתכota אילו.

טבלה 6: אורי גל לעירור ופליטה עבור חא"מ ללא נוחשת

$\lambda_{emission}$ nm	$\lambda_{excitation}$ nm	$\lambda_{excitation}$ nm	סימול הדוגמא*	סוג הדוגמא	מקטע גודל
450	340	277	EW1	מי קולחים-1	0.45μm<חא"מ<1kDa
439	341	274	EW2	מי קולחים-2	
449	338	274	EW4	מי קולחים-4	
450	342	260	TL1	נקז שפירים-1	
449	331	261	TL2	נקז שפירים-2	
450	334	260	TL3	נקז שפירים-3	
442	336	267	TL4	נקז שפירים-4	
445	337	266	EL1	נקז קולחים-1	
440	336	283	EL2	נקז קולחים-2	
450	337	271	EL3	נקז קולחים-3	
450	338	278	EL4	נקז קולחים-4	
440	331	246	EW2	מי קולחים-2	200Da<חא"מ<1kDa
447	342	250	EW4	מי קולחים-4	
450	325	250	TL2	נקז שפירים-2	
440	329	258	TL4	נקז שפירים-4	
440	331	254	EL1	נקז קולחים-1	
439	331	251	EL3	נקז קולחים-3	

* EW-Effluent Water, TL-Tap Water Leachate, EL-Effluent Water Leachate

חא"מ מי קולחים נחשב ליותר אליפטי בהשוואה לחא"מ מהקרקע. כך ניתן להסביר את השוני בדיכי הפלואורסצנטי. קבוצות אליפטיות בחא"מ מי קולחים יכולות לקשר לנוחשת או מתחות אחרות, אך בהשוואה לחא"מ מהקרקע, הקשירה למתחות פוחטה. חא"מ מהקרקע ידוע כיותר ארומטי ומושם כך מכיל יותר קבוצות בעלות אפניות גובהה למתחות, וכן ציפוי דיכי חזק יותר בעצמת הפלואורסצנטיה עבורה.

6. סיכום ומסקנות:

בашקה גירעונית במי קולחים שנוניים, לא נמצאה עלייה ברכיב החא"מ בקרקע. ריכוז החא"מ שהופק מנקדים שהושקו במילויים שונים, לא היה שונה מרכיב החא"מ שהופק מנקדים שהושקו במילויים שפירים. במדד לריכוז חומרים אромטיים בחא"מ (וח"מ SUVA 256), נמצא הבדלים בין שלושת סוגיו החא"מ, כאשר בני הקולחים ריכוז החומרים האромטיים היה הנמוך ביותר. בחא"מ שהופק מנקדים של השקה במילויים, נמצא ריכוז נמוך יותר של חומרים אромטיים, בהשוואה לחא"מ שהופק מנקדים של השקה במילויים שפירים.

בהתבדות החא"מ למקטעי גודל, נמצא שרביית החא"מ מצוי במקטע הקטן מ- 1kDa ועד 0.45kDa , גרם לא-יבוד של 2-2% של פא"ם, אך יחד עם זאת נפתחה ירידת ברכיב המתקנות הבודדות לאחר התהילה. תהליך ההרוויה בנתן, שיפור באופן שימושו את הספקטרה שהתקבל באנלייזת NMR-H¹, ואפשר ניתוח יותר מעמיק שלו. הנתונים שהתקבלו מאנלייזת NMR-H¹, הראו שבמקטע הגדל בין 0.45kDa ועד 1kDa , החא"מ ממי קולחים היה יותר אליפטי ויתר מחומצן. החא"מ מנקדים קולחים ושפירים, נמצא יותר אромטי ופחות מחומצן.

במקטע הגדל $>1\text{kDa}$ ועד 200 Da , ניתן היה לראות פיקים ברורים יותר, בעיקר באזור המיחסים למיננים אромטיים (וח"מ 6.2-9). ניתן לומר שמקטע גודל זה מכיל מבנים פשוטים יותר של החומרים האורגניים בחא"מ. במקטע גודל זה, לא נמצא הבדלים בין החא"מ שלושת סוגיו המים. הסיבה לכך יכולה להיות קשורה לנוכחות מלחים שגורמים ל"רעש" בספקטרום וכן האינטגרציה של הפיקים הופכת לפחות מדיקת.

בהתוואה בין שני מקטעי הגדל, נמצא עלייה ביחס למיננים אромטי/אליפטי עבור החא"מ ממי הקולחים, בעוד שבעבור החא"מ משני סוגיו הננקדים הייתה ירידת ביחס זה. מכאן ניתן לומר שבמקטע הגדל הקטן, החא"מ ממי הקולחים הפרץ ליותר אромטי ופחות אליפטי, ואילו החא"מ ממי הננקדים, הפרץ ליותר אליפטי ופחות אромטי. הנתונים שהתקבלו מאנלייזת FTIR, עברו מקטע הגדל בין 0.45kDa ועד 1kDa , נתנו הוכחה נוספת לכך שבחא"מ ממי קולחים היט פחות אромטי יותר מחומצן, מהחא"מ משני סוגיו הננקדים. בתוואה בין החא"מ $>1\text{kDa}$ ועד 200 Da , החא"מ שלושת סוגיו המים היה פחות אליפטי ויתר מחומצן. בתוואה בין החא"מ ממי קולחים לחא"מ מהנקדים, נמצא שהראשון שאליפטי, בקרה זה ישנה סתירה לנواتים שהתקבלו באנלייזת NMR-H¹, אך חשוב לציין שאנלייזת FTIR, יכולה להיות פחות מדויקת מכיוון שראשית אנלייזה זו אינה כמותית כמו כן, פיקים במיקומים שונים מופיעים את אותן הקבוצות הפונקציונליות (פיקים B, D בטבלה 4).

המפות הפלואורסצנטיות הותלו ממדיות, הראו הבדלים בולטים בין מי הקולחים, לבין שני סוגיו הננקדים. גם במרקחה זה לא נמצא הבדלים בין נקץ מי הקולחים לנקי הננקדים. החא"מ ממי הקולחים הראה נוכחות של קבוצות פלאורסצנטיות שלא נמצא בחא"מ משני סוגיו הננקדים. הקבוצות הפלואורסצנטיות הנוספות ייחסו לחומר פירוק מיקרוביאל מסיסיים ולחלבונים אромטיים פשוטים. בריכוז מרבי של נחשות, עצמת הפיקים הפלואורסצנטיים ירידת, אך לא נמצא שניים ממשמעתיים במיקומים במטה. קשיית החא"מ לנוחות במקטע הגדל בין 0.45kDa ועד 1kDa , לפני והחרי הומיאיזציה, הייתה נמוכה יותר מאשר מי הקולחים, ובויה יותר בשני סוגיו הננקדים. החא"מ ממי קולחים, שהיט פחות אромטי מהחא"מ משני סוגיו הננקדים, יכול לקשור פחות נחשות שניים פעיל.

לפני הומיאיזציה, החא"מ מנקץ שפירים קשר יותר לנוחות מאשר החא"מ מנקץ קולחים. ההסבר לתופעה קשור גם לכך שבחא"מ מנקץ שפירים נמצא יותר אромטי מהחא"מ מנקץ קולחים וכן יותר פעיל ובעל קבוצות דמיות יותר לקשיית נחשות.

לאחר תהליך ההרוויה בנתן, החא"מ שלושת הסוגים, (מי קולחים, נקץ קולחים ונקץ שפירים), הראה קשייה נמוכה יותר לנחשות, מאשר החא"מ שלפני ההרוויה בנתן. יתכן שלאחר תהליכי ההרוויה בנתן, המבנה המרחבי של החא"מ משתנה, כך שה贊ימות של הקבוצות לנחשות, קטנה. קטנה. המבנה המרחבי של המבנה הסובך של החא"מ. נחשות שמוסיפה לחא"מ יכולה ליצור קשרים פולידנטיטים, בנתן "פותחת" את המבנה צפוף יותר, וכך מוגברת קשיית החא"מ לנחשות, קטנה. ההרוויה כלומר להיקשר בזמנית ליותר מקבוצה פונקציונלית אחת. בקרה זה כמות הנחשות שנקשרת לחא"מ נמוכה יותר, בהשוואה לחא"מ שאינו רווי בנתן. יצירת קשרים פולידנטיטים של הנחשות, יכולה לגרום לחא"מ להיות בעל מבנה מרחבי צפוף יותר, וכך אטריים קשרים בחא"מ הופכים לפחות דמיים לקשיית נחשות נוספת.

עבור החא"מ במקטע הגדל $>1\text{kDa}$ ועד 200 Da , לא נמצא הבדלים בין הננקדים וממי הקולחים. כמו כן החא"מ במקטע גודל זה קשר פחות לנוחות ממקטע הגדל בין 0.45kDa ועד 1kDa . יתכן שהחא"מ שאבד בתהליכי ההפרדה למקטע גודל זה, גרם לרידה ברכיב הקבוצות הפונקציונלית שיכולה לחבר נחשות. בתופעת נחשות, נפתחה ירידת בעצמת הפלואורסצנטיה של החא"מ. הדבר נבע מיצירת קומפלקס שאינו פלאורסצנטי, בין קבוצות קשורות בחא"מ לבן נחשות. הרידה בעצמת הפלואורסצנטיה הייתה תלולה יותר עבור החא"מ משני סוגיו הננקדים, בעוד שבעבור החא"מ ממי הקולחים הרידה הייתה מתונה הרבה יותר. מכך

ניתן ללמוד שחא"מ ממי הקולחים קשור נחותת באטרים שונים מאילו של החא"מ בנקזים. בחא"מ ממי הקולחים, הנחותת נקשרת בעיקר באטרים שאינם פלאורסצנטיים, או באטרים שאינם קרובים לסביבה פלאורסצנטית, ומשום כך קשרת הנחותת אינה בעלת השפעה משמעותית על עצמת הפלואורסצנציה של החא"מ. בחא"מ משבי סוג הנקזים, הנחותת נקשרת בעיקר באטרים פלאורסצנטיים, ولكن הירידה בעוצמת הפלואורסצנציה, המבעת מקשרית נחותת, הינה חזקה הרבה יותר. לא היה ניתן להבדיל בין שני סוג הנקזים, למרות ההשquia בסוגי מים שונים.

ההיפותזה שעליה התבססה עבודה זו הוכחה כנכונה. השקיה במים קולחים שנינויים, לא הייתה שונה מהשקיה במים שפירים. ההשquia היגרונית, גרמו לשהייה ממושכת של מי הקולחים בקרקע, וכך הנראה אפשרה פירוק מיקרבאלי של החא"מ. האניליזות השומת, לא הראו הבדלים בין חא"מ שהופק מנוקדים לאחר השקיה במים קולחים, לעומת חא"מ שהופק מנקזים לאחר השקיה במים שפירים. מי הקולחים, איבדו את תכונותיהם הייחודיים, לאחר שהייתה בקרקע.

References

הס אמר, 2002. התפלגות כימית של מתקנות נבדות בקרקעות מטופלות בבודת שפכים. האוניברסיטה העברית בירושלים, הפקולטה לחקלאות וחובות.

- Akagi, J., Zsolnay, A., 2005. Relationships between DOM's quality and its interaction with copper. *Geophysical Research Abstracts*, Vol. 7, 01588.
- Baker, A., Spencer, R.G.M., 2004. Characterization of dissolved organic matter from source to sea using fluorescence and absorbance spectroscopy. *Science of the Total Environment* 333, pp 217-232
- Bolan, N.S., Adriano, D.C., Duraisamy, P., Mani, A., 2003. Immobilization and phytoavailability of cadmium in variable charge soils. III. Effect of biosolid compost addition. *Plant and Soil* 256, pp 231-241
- Businelli, M., Altieri, R., Giusquiani, P.L., Gigliotti, G., 1999. Complexation capacity of dissolved organic matter from pig slurry: a gel filtration and dialysis study. *Water, Air, and Soil Pollution* 113, pp 385–394
- Cabaniss, S.E., Shuman, M.S., 1986. Combined ion selective electrode and fluorescence quenching detection for copper-dissolved organic matter titrations. *Anal. Chem.* 58, pp 398-401
- Cabaniss, S.E., Shuman, M.S., 1988. Fluorescence quenching measurements of copper-fulvic acid binding. *Anal. Chem.* 60, pp 2418-2421
- Chefetz, B., Hadar, Y., Chen, Y., 1998. Dissolved organic carbon fraction formed during composting of municipal solid waste: properties and significance, *Acta hydrochim. hydrobiol.* 26, pp 172-179
- Chen, W., Westerhoff, P., Leenheer, J.A., and Booksh, K., 2003. Fluorescence excitation-emission matrix regional integration to quantify spectra for dissolved organic matter. *Environ. Sci. Technol.* 37, pp 5701-5710
- Chin, Y.P., Aiken, G., O'Loughlin, E., 1994. Molecular weight, polydispersity, and spectroscopic properties of aquatic humic substances. *Environ. Sci. Technol.* 28, pp 1853-1858
- Coble, P.G., 1996. Characterization of marine and terrestrial DOM in seawater using excitation-emission matrix spectroscopy. *Marine Chemistry* 51, pp 325-246

- Duarte, R.M.B.O., Santos, E.B.H., Duarte, A.C., 2003. Spectroscopic characteristics of ultrafiltration fractions of fulvic and humic acids isolated from an eucalyptus bleached Kraft pulp mill effluent. *Water Research* 37, pp 4073-4080
- Dudal, Y., Sévenier, G., Dupont, L., Guillon, E., 2005. Fate of the metal-binding soluble organic matter throughout a soil profile. *Soil Science* 170, pp 707-715
- Fiedler, S., Kalbitz, K., 2003. Concentration and properties of dissolved organic matter in forest soils as affected by the redox regime. *Soil Science* 168, pp 793-801
- Fine, P., Atzmon, N., Adani, F., Hass, A., 2005. Disposal of sewage effluent and biosolids in *Eucalyptus* plantations: a lysimeter simulation study. Twardowska I, and Tel-Or E. (Eds), Nato Programme Security Through Science, "Viable Methods of Soil and Water Pollution Monitoring, Protection and Remediation". Krakow (Poland), June 27 - July 01
- Fine, P., Hass, A., Prost, R., Atzmon, N., 2002. Organic carbon leaching from effluent irrigation lysimeters as affected by residence time. *Soil Science Society of American Journal* 66, pp 1531-1539
- Gautier, T.D., Shane, E.C., Guerin, W.F., Seitz, W.R., Grant, C.L., 1986. Fluorescence quenching method for determining equilibrium constants for polycyclic aromatic hydrocarbons binding to dissolved humic materialst. *Environ.Sci.Tecnol.* 20, pp 1162-1166
- Gélinas, Y., Baldock, J.A., Hedges, J.I., 2001. Demineralization of marine and freshwater sediments for CP/MAS ¹³C NMR analysis. *Org. Geochem.* 32, pp 677-693
- Gigliotti,G., Giusquiani,P.L., Businelli,D., Macchioni,A. 1997. Composition changes of DOM in the soil amended with municipal waste compost. *Soil Science* 162, pp 919-926
- Guo, M., Chorover, J., 2003. Transport and fractionation of dissolved organic matter in soil columns. *Soil Science* 168, pp 108-118
- Han, N., Thompson, M.L., 1999. Copper-binding ability of dissolved organic matter derived from anaerobically digested biosolids. *J. Environ. Qual.* 28, pp 939-944
- Her, N., Amy, G., McKnight, D., Sohn, J., Yoon, Y., 2003. Characterization of DOM as a function of MWby fluorescence EEM and HPLC-SEC using UVA, DOC, and fluorescence detection. *Water Research* 37, pp 4295-4303
- Hsu, J. H., Lo, S. L., 1999. Chemical and spectroscopic analysis of organic matter transformations during composting of pig manure. *Environmental Pollution* 104, pp 189-196
- Imai, A., Fukushima, T., Matsushige, K., Kim, Y-H., Chio, K., 2002. Characterization of dissolved organic matter in effluents from wastewater treatment plants. *Water Research* 36, pp 859-870
- Khalaf, M., 2003. Effect of the fractionation and immobilization on the sorption properties of humic acid. Institute of Chemistry and Dynamics of the Geosphere IV, Agrosphere, Research Center Jülich, Germany
- Manka, J., Rebhun, M., Mandelbaum, A., Bortinger, A., 1974. Characterization of Organics in Secondary Effluents. *Environmental Science & Technology* 8, pp 1017-1020
- Oliver, I.W., Hass, A., Merrington, G., Fine, P., McLaughlin, M.J., 2005. Copper availability in seven Israeli soils incubated with and without biosolids. *J. Environ. Qual.* 34, pp 508-513
- Peschel, G., Wildt, T., 1988. Humic substances of natural and anthropogeneous origin. *Water Research* 22, pp 105-108

- Pullicino, D.S., 2002. Chemical and spectroscopic analysis of organic matter transformations during composting of municipal solid waste: a review. Department of Chemistry at the University of Malta.
- Reynolds, D.M., Ahmad, S.R., 1995. The effect of metal ions on the fluorescence of sewage wastewater. Water Res. 29, pp 2214-2216
- Saadi, I., Borisover, M., armon, R., Laor, Y., 2006. Monitoring of effluent DOM biodegradation using fluorescence, UV and DOC measurements. Chemosphere 63, pp 530-539
- Sauve, S., McBride, M.B. and Hendershot, W.H. 1995. Ion-selective electrode measurements of copper ($^{2+}$) activity in contaminated soils. Arch. Environ. Contam. Toxicol. 29, pp 373-379
- Siebe, C., Fischer, W.P., 1996. Effect of long-term irrigation with untreated sewage effluents on soil properties and heavy metal absorption of Leptosols and Vertisols in Central Mexico. Z. Pflanzenernaehr. Bodenkd. 159, pp 357-364
- Silverstein, R.M., Bassler, G.C., Morrill, T.C., 1991. Spectrometric identification of organic compounds, 5th Edition. John Wiley and Sons, Inc., USA
- Solomon, T.W.G., Fryhle, G.B., 2004. Organic Chemistry, 8th Edition. John Wiley & Sons, Inc., USA
- Traina, S.J., Novak, J., Smeck, N.E., 1990. An ultraviolet absorbance method of estimating the percent aromatic carbon content of humic acids. J. Environ. Qual. 19, pp 151-153
- Westerhoff, P., Chen, W., Esparza, M., 2001. Fluorescence analysis of a standard fulvic acid and tertiary treated wastewater. J. Environ. Qual. 30, pp 2037-2046
- Zumstein J. and Buffle J. (1989) Circulation of pedogenic and aquagenic organic matter in a eutrophic lake. Water Res. 23, pp 229-239

סיכום עם שאלות מוחזות

מספר מחקר : 02-0380-301

<p>1. מטרות המחבר לתקופת הדו"ח תוך התיחסות לתוכנית העבודה.</p> <p>(1) הפקת חא"מ מליזומטרים מושקים במ-קולחים והפרדתם למקטעי גודל (2) איפון החא"מ ב-ISE ובסילוב ספקטראופלואורימטרי (3) בדיקת החא"מ ב-¹H-NMR ו-FTIR (4) איפון החא"מ ע"י מיפוי ספקטראופלואורימטרי תלת ממדית (EEM)</p> <p>2. עיקרי הניסויים והתוצאות שהושגו בתקופה אליה מתיחס הדו"ח.</p> <p>(1) העתקת העצים ליזומטרים חדשים (2) הפקת חא"מ לאחר השקיה גרעונית ממושכת, הפרדת החא"מ למקטע גודל מ 1 ק"ד וקטן ממנו. ברכישה נמצא תא סינון, שיאפשר (א) הפרדת חא"מ למקטעים קטנים מ 1 ק"ד, (ב) הסרת יסודות קורוט מהחא"מ (מוני-יוניזציה) לשם ניסוי קשירת מתכוות ולאנלייזה ספקטרלית ב-NMR. (3) בוצעו טיטרציות בתחום רחב של Cu²⁺ ובתחום פחות רחב נערכו ניסויים באלקטרודה בשילוב פלורינסציה. (4) בוצעו אנליזות NMR-¹H ו-FTIR (5) בוצע מיפוי פלאורוסצנטי תלת ממדית (EEM)</p> <p>3. המסקנות המדעיות וההשלכות לגביי יישום המחבר והמשכו.</p> <p>(1) כשר הקשירה של חא"מ ממי הקולחים המקוריים לנוחות נマー מהה של החא"מ שני סוג' הנקזים. הדבר מצביע על שניי החא"מ במהלך שהותו בקרקע וריכוזו. (2) אתני הקשירה לנוחות בחא"מ ממי הקולחים המקוריים נמצאו פחות פלורינסנטים מאתני הקשירה בחא"מ שניי סוג' הנקזים. שוב ניתן לייחס זאת לשינויים המתארחשים בזמן שהשות בקרקע. (3) ספקטרום הפוטונים מראה נוכחות גבוהה יותר של חומרים ארכומטיים בנקזים של מי הקולחים לעומת נקדים של מים שפירים. כמו כן, חא"מ ממי הקולחים נמצא יותר פלאורי ומוחומצן, מהחא"מ מהנקזים. (4) ספקטרום ה-¹HNMR אישר את ההשערות לגבי ריכוז גבואה של חומצות קרבוקסיליות בחא"מ מהמקורות השונים, ונתן אישור נוסף לנთונים שהתקבלו מאנליזת NMR-¹H</p> <p>4. הבעויות שנדרשו לפתרון/^{ו/או} השינויים שהחלו במהלך העבודה (טכнологיות, שיווקיים ואחרים); התיחסות המשך המחבר לגביהם.</p> <p>הבנת איזוטרמת הספיקה של החא"מ לנוחות ברכיבוי נוחות נמוכים</p>
<p>5. האם הוחל כבר בהפצת הידע שנוצר בתקופת הדו"ח - יש לפרט: פרסומים - כמפורט ביבליוגרפיה, פטנטים - יש לציין מס' פטנט, הריצאות וימי עין - יש לפרט מקום ותאריך.</p>
לא
פרסום הדו"ח: אני ממליץ לפרעם את הדו"ח: (סמן אחת מהאפשרויות) <ul style="list-style-type: none"> • לא הגבלה (בספריות וב인터넷)

0.45µm תכלת מותכות בא"נ, לאחר סינון בפיילר

Ca mg/L	Mg mg/L	K mg/L	Fe µg/L	Zn µg/L	Sr µg/L	Ni µg/L	Mo µg/L	Li µg/L	Co µg/L	Ba µg/L	B mg/L	טומן הזרם גאנז*
71.0	27.5	34.6	120.9	187.7	656.6	23.7	<IDL	5.6	<IDL	41.5	0.2	EW-1
74.8	26.7	22.0	120.8	60.4	547.2	15.0	5.1	6.5	<IDL	45.2	0.2	EW-2
83.4	27.6	20.6	83.8	69.1	613.2	15.7	5.5	5.1	<IDL	42.8	0.2	EW-3
59.8	26.5	27.4	26.1	46.5	564.5	11.5	<IDL	9.6	<IDL	35.5	0.1	EW-4
682.5	492.6	282.6	201.1	485.3	4918.2	424.5	62.5	26.6	26.7	372.1	1.1	TL-1
495.8	294.9	183.0	61.7	228.2	3601.2	277.9	34.2	18.7	12.8	249.7	0.7	TL-2
182.5	479.8	140.7	101.8	106.7	5488.4	340.5	56.2	20.3	10.3	471.4	0.7	TL-3
329.5	494.9	301.7	32.4	134.0	3421.8	499.2	37.7	87.2	15.9	220.0	1.6	TL-4
490.9	251.9	84.8	456.2	107.0	3988.5	211.1	6.8	32.7	5.1	537.9	0.7	EL-1
227.2	887.7	509.5	147.9	229.4	5010.6	773.8	56.1	135.1	30.5	396.4	2.4	EL-2
364.8	477.2	273.2	68.3	294.8	3940.6	483.7	69.4	91.2	15.6	375.7	1.5	EL-3
437.1	386.8	320.1	80.2	461.7	4298.7	291.5	62.2	81.6	13.4	189.9	1.0	EL-4

SUVA mm	OD mm	254 mm	pH	EC mS/cm	DOC mg/L	UV nm	UV nm	EW-1
0.87	0.16	5.8	2.0	18.3	120	1.9	120	EW-2
0.49	0.40	6.3	2.1	81.5	120	1.5	120	EW-3
0.98	0.14	5.4	2.1	14.3	120	1.7	120	EW-4
2.76	0.21	4.4	2.1	7.6	120	4.1	120	TL-1
2.72	11.0	5.4	2.0	403.8	120	5.4	103.7	TL-2
1.10	2.7	4.1	3.1	844.5	120	7.3	30.4	TL-3
2.89	2.3	5.6	2.0	456.3	120	6.7	122.2	TL-4
3.88	16.1	5.8	2.0	79.5	120	6.9	774.6	EL-1
2.29	2.8	7.3	2.5	1162.4	120	14.7	96.3	EL-2
2.39	2.2	5.8	2.2	774.6	120	2.3	147	EL-3
3.19	20.3	6.0	2.3	637.0	120	6.0	49.6	EL-4
2.66	3.3	5.4	1.8	124.0	120	4.5	32.0	TL-1
3.46	24.4	5.5	1.8	705.3	120	6.1	559.1	TL-2
2.75	2.6	4.5	1.8	94.5	120	2.7	2.7	TL-3
3.11	17.4	6.1	2.7	559.1	120	1.8	5.5	TL-4
2.59								

♦נְהִירָה יְהוּ אֶל-EL, ♦נְהִירָה יְהוּ TL, ♦נְהִירָה יְהוּ EW *

1 KDa<nm<An-J10n, 1 KDa<nm<An<0.45 μm-TL

JKDa: maxnm 120 JnJt An 1,1

♦נְהִירָה יְהוּ אֶל-EL, ♦נְהִירָה TL, ♦נְהִירָה EW: 2 nm

Ca mg/L	Mg mg/L	K mg/L	Fe μg/L	Zn μg/L	Sr μg/L	Ni μg/L	Mo μg/L	Mn μg/L	Cu μg/L	Cr μg/L	Co μg/L	Ba μg/L	סיליקט הידרואידי מגניום תרכז
62.5	25.0	18.7	1480.0	210.0	<DL	59.0	5.8	70.0	31.0	33.0	<DL	80.0	EW-2
62.5	25.3	22.1	77.2	99.4	527.3	11.1	4.1	31.3	7.9	<DL	<DL	59.9	תרכז תוני
58.9	23.5	15.9	560.0	310.0	<DL	49.0	16.0	48.0	37.0	59.0	<DL	45.0	EW-3
58.9	26.9	20.1	84.6	128.2	595.8	9.7	4.6	22.8	5.0	6.7	<DL	45.0	תוני
57.6	23.8	24.5	130.0	51.0	520.0	39.0	5.3	16.0	16.7	7.2	<DL	<DL	EW-4
57.6	27.1	28.4	42.0	50.0	570.0	15.0	<DL	15.0	6.0	<DL	<DL	37.0	תוני
55.8	41.9	53.4	331.3	205.3	535.2	175.3	780.0	23.1	38.6	10.5	20.7	36.6	תרכז תוני
592.9	573.0	698.3	346.2	707.5	5199.6	436.9	18.4	45.5	25.0	7.5	30.8	301.1	TL-1
115.7	50.3	46.1	796.0	296.0	784.6	204.9	74.7	140.6	111.1	9.4	38.9	12.5	TL-2
529.7	336.3	525.8	269.8	277.0	3679.1	261.8	15.7	249.1	22.3	9.7	16.9	140.0	תוני
96.9	44.1	29.1	506.5	80.0	752.0	185.5	151.9	8.7	74.4	13.7	24.2	66.4	תרכז תוני
687.6	413.8	372.2	471.4	128.1	4926.2	273.7	14.9	26.2	18.1	6.7	11.2	369.0	TL-3
127.9	95.9	81.0	10940.3	602.8	1135.5	836.2	33.4	213.7	191.4	15.3	63.4	31.3	TL-4
286.5	437.2	675.0	235.1	212.6	3031.5	389.7	31.1	276.8	21.3	4.4	18.6	134.2	תוני
65.3	57.8	35.3	4319.8	118.1	901.6	435.6	8.1	569.2	25.8	34.3	39.3	107.0	תרכז תוני
197.9	287.8	255.5	479.2	57.6	3125.3	189.7	<DL	1251.9	10.5	9.8	9.4	286.5	EL-1
20.6	59.9	60.3	1971.9	177.6	604.4	363.5	44.9	28.4	105.0	9.8	36.1	47.0	תרכז תוני
105.2	746.9	697.2	430.4	242.1	4269.4	618.7	30.3	117.8	37.5	5.4	31.8	275.2	EL-2
53.8	66.7	81.2	439.2	373.8	921.4	274.9	43.4	13.9	116.5	15.6	38.5	34.3	תרכז תוני
209.7	379.2	604.9	182.6	385.3	3882.8	253.3	45.2	30.9	17.9	8.1	17.8	123.3	EL-3
54.9	19.1	20.9	899.2	257.3	525.8	76.4	5.5	47.4	29.7	27.3	4.2	52.0	תרכז תוני
71.8	26.8	35.0	837.3	235.3	706.6	21.1	<DL	65.9	5.7	5.1	<DL	54.9	EL-4 תוני

SUVA	OD	pH	EC	DOC	mS/cm	nm	254 nm	254 nm	OD	nm	254 nm	EC	DOC	mS/cm	nm	254 nm	OD		
1.35	0.34	6.2	1.1	25.2	175	2735	EW-2	EW-4	1.55	0.21	4.9	0.9	13.5	2735	175	1.58	0.03	6.2	
6.00	0.03	6.4	0.8	0.5	175	2735	EW-2	EW-4	1.99	1.59	6.2	2.1	79.8	2735	175	9.33	0.14	6.3	
0.92	1.19	5.6	1.2	129.0	175	2735	TL-2	TL-3	2.94	1.81	6.0	1.6	61.5	2735	175	3.08	0.08	6.2	
1.67	0.02	6.4	0.4	1.2	175	2735	TL-3	TL-4	3.10	1.08	6.6	0.9	34.8	2735	175	2.37	0.09	6.7	
2.37	0.08	6.2	2.8	2.6	175	2735	TL-4	EL-1	2.64	1.47	7.0	1.9	55.7	2735	175	3.33	0.03	7.0	
2.19	0.60	5.3	0.9	27.4	175	2735	EL-1	EL-3	3.33	0.10	5.4	2.7	3.0	175	2735	175	3.33	0.10	5.4

200 DA<nm 175, 200 DA<nm<1 KDA - 175

200 DA 175-200 nm 175-200 nm<1.2

Ca mg/L	Mg mg/L	K mg/L	Fe μg/L	Zn μg/L	Sr μg/L	Ni μg/L	Mo μg/L	Mn μg/L	Cu μg/L	Cr μg/L	Co μg/L	Ba μg/L	Al μg/L	As * μg/L
72.9	32.4	6.13	40.0	160.0	615.0	16.0	6.4	36.0	<IDL	<IDL	<IDL	54.8	11.0	EW-2
20.4	6.9	11.5	3.9	21.0	177.0	<IDL	8.5	<IDL	<IDL	<IDL	<IDL	18.0	11.0	
67.4	31.0	3.08	71.0	150.0	680.0	30.0	<IDL	22.0	13.0	7.0	5.4	<IDL	11.0	EW-4
10.7	4.0	3.6	8.3	33.0	100.0	8.0	<IDL	4.5	4.5	4.5	5.4	8.0	11.0	
<IDL	214.3	<IDL	153.0	260.0	<IDL	340.0	14.0	53.0	<IDL	9.1	8.9	91.0	11.0	TL-1
28.5	28.2	33.5	27.5	25.0	230.0	12.7	4.0	<IDL	<IDL	<IDL	<IDL	11.0	11.0	
<IDL	371.5	<IDL	1200.0	386.0	<IDL	560.0	52.6	265.0	12.0	15.7	25.7	110.0	11.0	TL-2
11.8	8.3	55.1	26.5	26.0	80.0	<IDL	6.1	<IDL	<IDL	<IDL	<IDL	11.0	11.0	
158.0	140.8	1.5	39.0	123.0	1150.0	230.0	14.0	7.8	6.1	<IDL	6.5	79.0	11.0	TL-3
44.6	20.0	13.6	<IDL	28.0	360.0	10.0	<IDL	18.0	<IDL	<IDL	<IDL	26.0	11.0	
37.0	59.2	7.9	105.0	190.0	390.0	120.0	10.0	41.0	3.6	<IDL	4.0	17.0	11.0	TL-4
17.5	27.0	53.6	<IDL	17.0	186.0	17.5	<IDL	17.0	<IDL	<IDL	<IDL	6.8	11.0	
41.4	103.4	<IDL	746.0	132.0	<IDL	230.0	12.0	416.0	13.2	13.8	5.9	67.0	11.0	EL-1
13.2	17.7	9.6	105.0	20.0	170.0	<IDL	77.0	<IDL	4.8	<IDL	19.0	11.0		
16.3	53.4	5.7	27.0	180.0	330.0	121.0	<IDL	<IDL	<IDL	<IDL	4.9	19.0	11.0	EL-3
10.4	28.6	6.2	9.3	74.6	210.0	25.0	<IDL	<IDL	<IDL	<IDL	<IDL	12.0	11.0	

OD	PH	EC	DOC	mS/cm	mg/l	narrative	narrative	EW
254 nm								
0.085	6.7	24.7	43	1100		EW-2		
0.089	6.4	18.2	35	2100				
0.018	6.8	7.8	1.0	3100				
0.019	4.1	3.3	2.0	4100				
0.009	4.8	1.1	1.5	5100				
0.011	5.3	23.8	2.7	1100	EW-4			
0.039	6.2	19.0	2.8	2.1100				
0.046	6.3	16.2	4.2	2.2100				
0.027	7.1	6.5	6.4	3100				
0.006	3.9	1.6	1.5	4100				
0.001	3.8	0.9	0.7	6100				
0.002	4.1	0.6	0.7	7100				
0.005	4.3	0.4	1.0	8100				
0.006	4.5	0.3	0.6	9100				
0.021	3.8	2.6	0.4	4100				
0.050	6.9	6.5	4.4	3100				
0.091	6.6	16.6	3.9	2.1100	TL-3			
0.172	6.4	24.0	7.0	1100				
0.094	7.1	22.5	3.3	1100	EL-1			
0.115	7.6	5.8	7.0	4100				
0.033	7.2	3.6	2.9	3100				
0.029	6.9	8.1	2.1	2100				
0.014	7.2	1.6	4.5	5100				
0.087	7.2	5.8	7.0	4100				
0.115	7.6	5.8	7.0	4100				
0.022	7.0	0.3	1.9	7100				
0.016	3.5	0.4	1.1	8100				
0.034	3.7	0.3	1.4	9100				
0.045	4.1	2.0	3.9	5100				
0.045	4.0	3.6	2.6	4100				
0.030	6.8	8.5	7.2	3100				
0.085	6.4	19.3	2.7	2100				
0.037	6.4	1100	6.5	1100	EL-3			
0.089	6.6	23.6	6.5	1100				

70X-AH, 5,471,10000 397-BH, 0,071P, 4, TPD-EL, D,7,500 D,A TPD-TL, 0,071P, 4, EW
7,471,10000 707-AH, 5,471,10000 397-AH, 0,071P, 4, TPD-EL, D,7,500 D,A TPD-TL, 0,071P, 4, EW

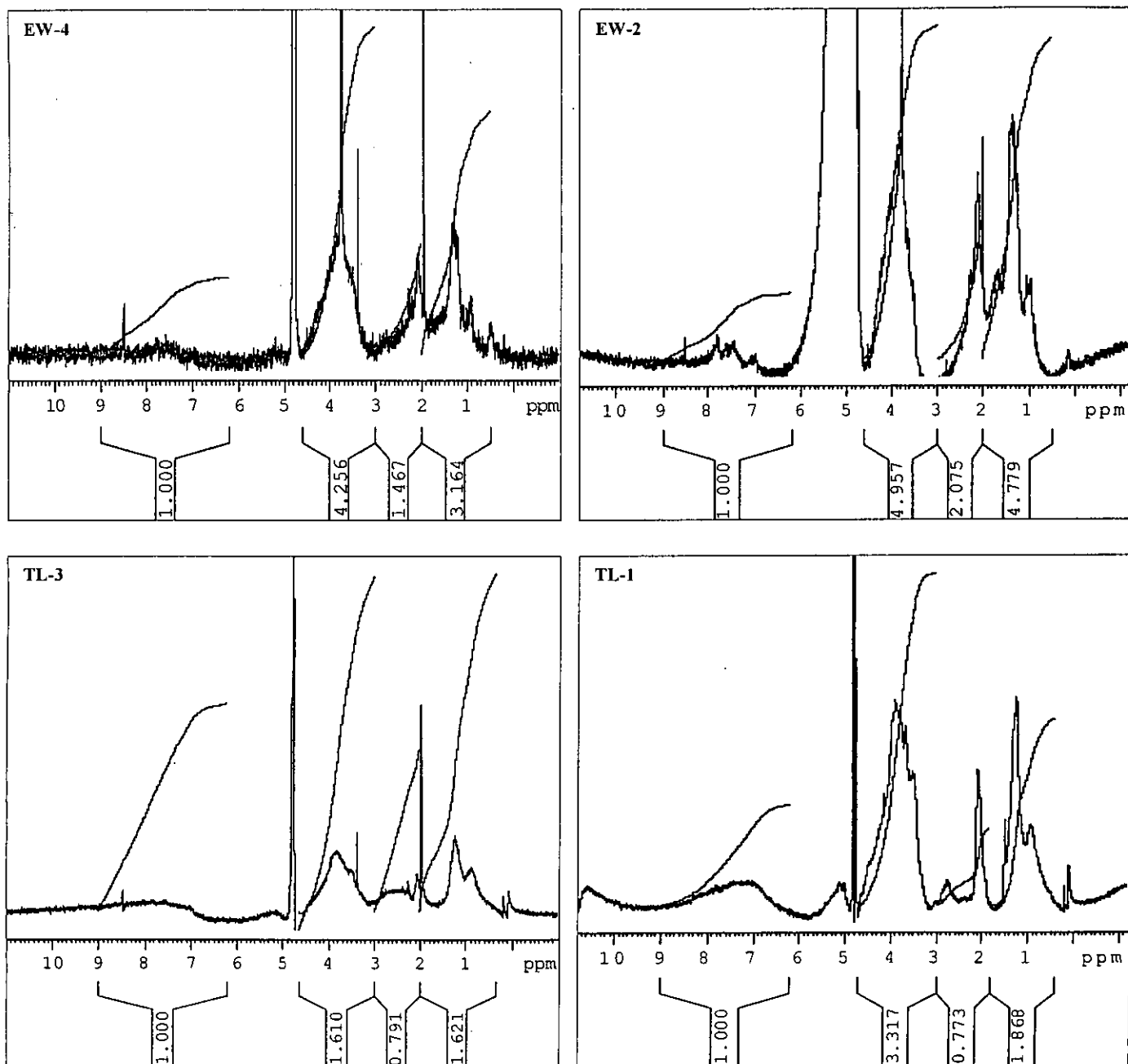
K mg/L	Zn µg/L	Sr µg/L	Ni µg/L	Mo µg/L	Mn µg/L	Cr µg/L	Co µg/L	Ba µg/L	זט הדגמא	שם הדגמא*
18.7	210.0	<IDL	59.0	5.8	70.0	33.0	<IDL	80.0	BH	EW-2
1.4	77.7	108.3	36.6	<IDL	3.9	18.0	<IDL	10.2	AH	
38.5	204.6	533.5	17.5	77.7	23.1	10.5	20.6	36.5	BH	TL-1
<IDL	160.0	<IDL	147.0	98.0	32.0	9.4	12.6	10.0	AH	
25.0	95.2	894.9	22.1	18.1	10.4	16.4	20.6	79.0	BH	TL-3
0.9	154.3	205.2	160.4	46.9	<IDL	<IDL	18.6	24.2	AH	
26.8	123.8	944.7	456.4	8.5	596.4	35.9	41.2	112.1	BH	EL-1
1.2	65.2	187.4	331.5	16.0	229.1	22.0	30.9	44.4	AH	
59.6	378.4	932.9	278.2	43.9	14.1	15.8	38.9	34.7	BH	EL-3
1.3	150.3	172.4	219.6	182.6	<IDL	6.1	20.2	23.3	AH	

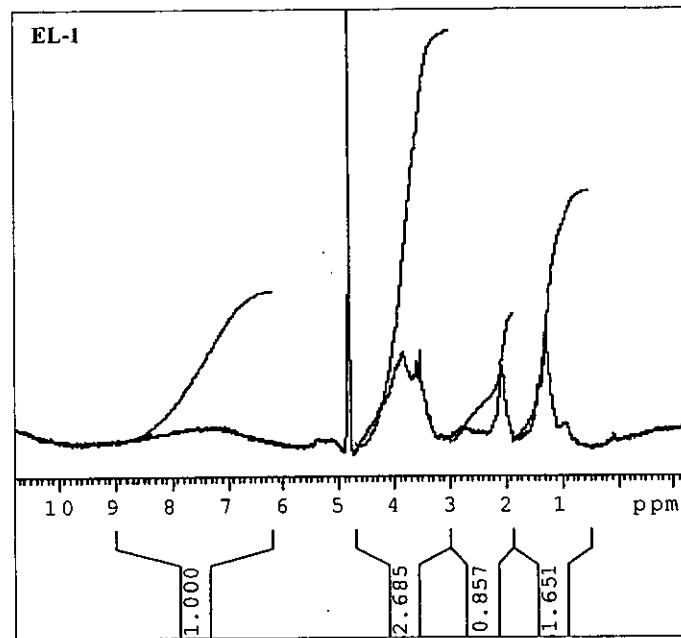
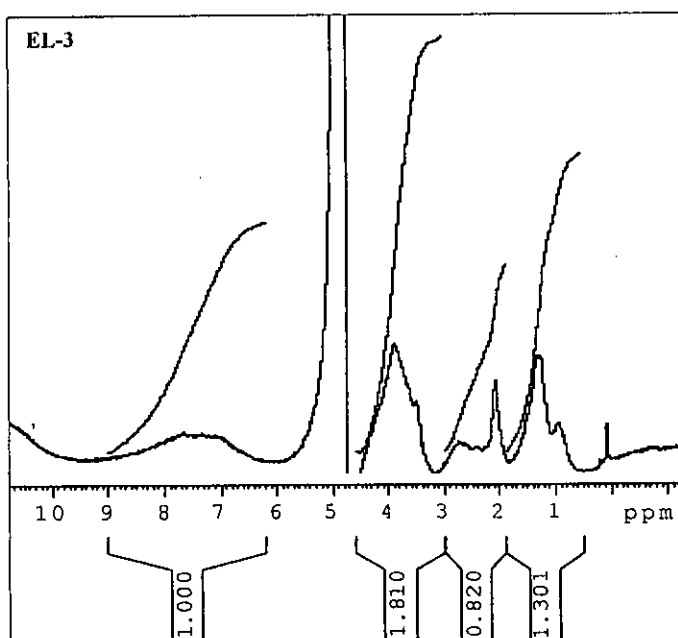
גופח 4: גרפים

איור 1: אנליזת $^1\text{H-NMR}$

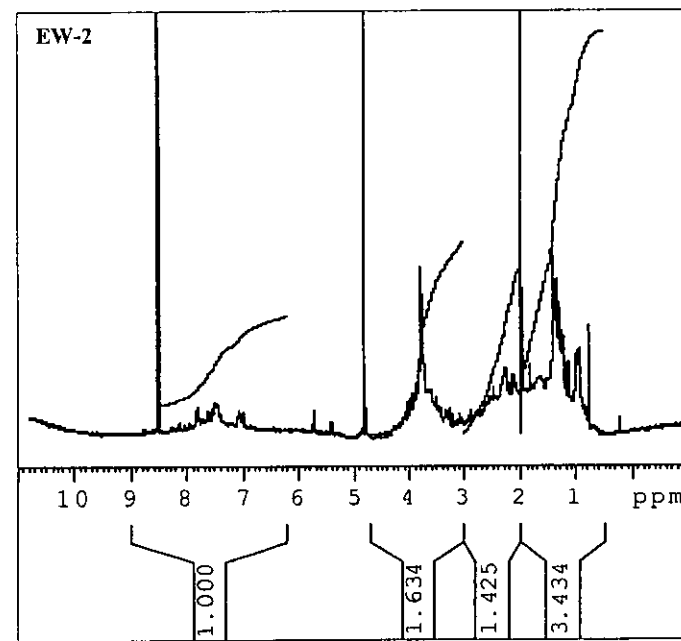
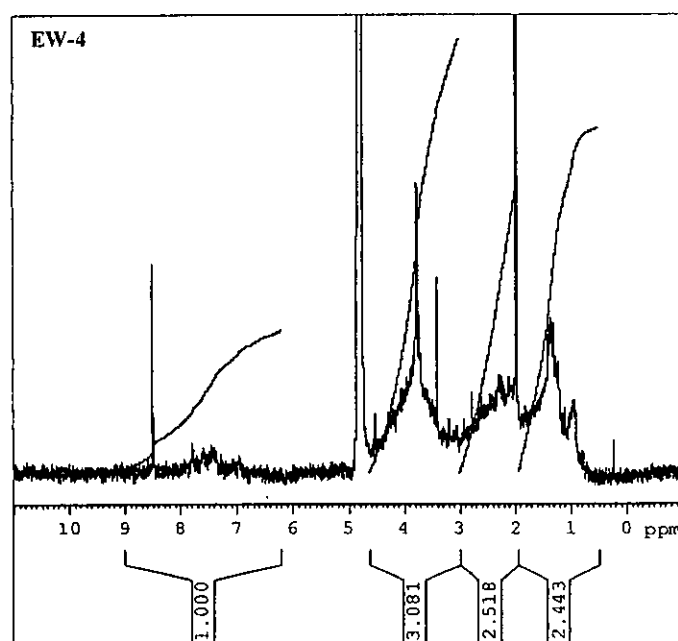
WE- מי קולחין; TL- נקץ לאחר השקיה במים שפירים; EL- נקץ לאחר השקיה במילקולים

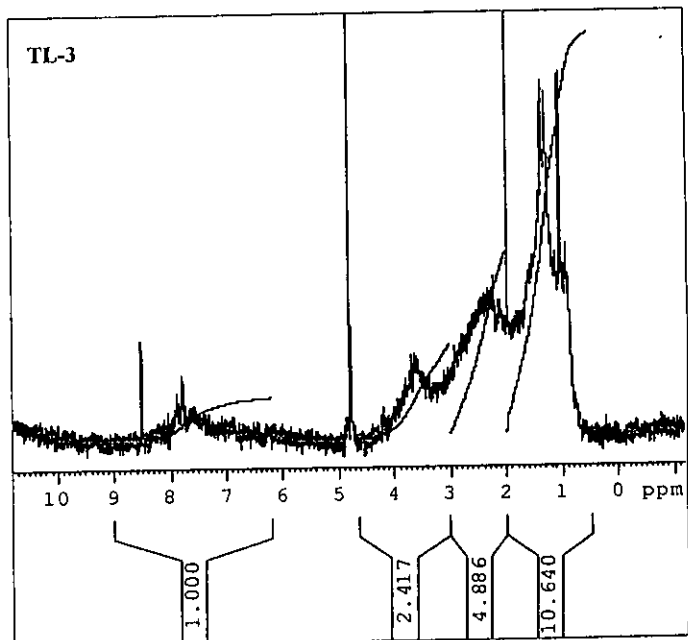
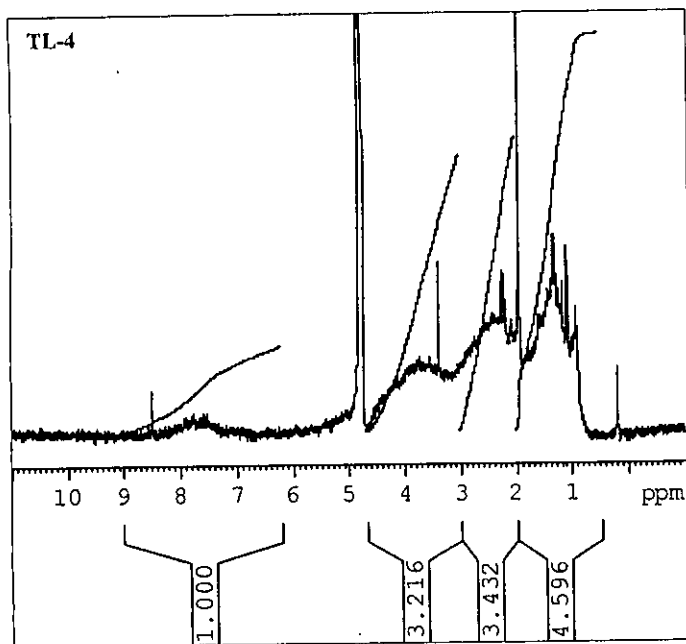
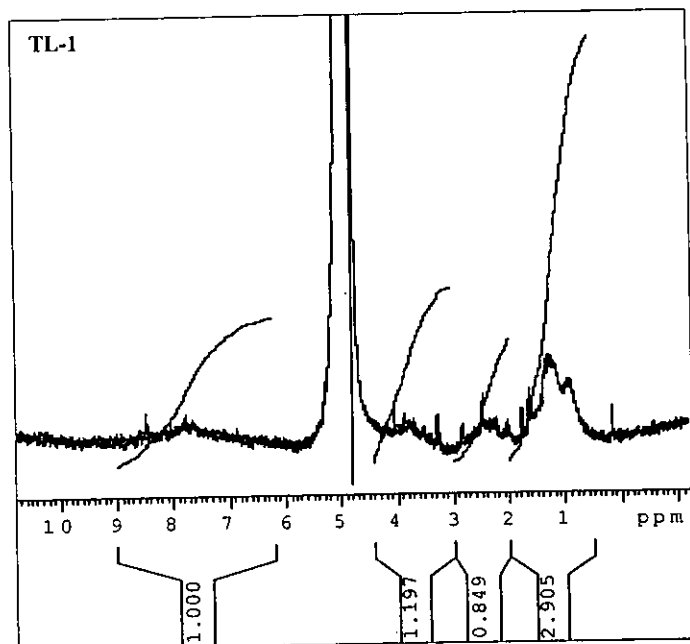
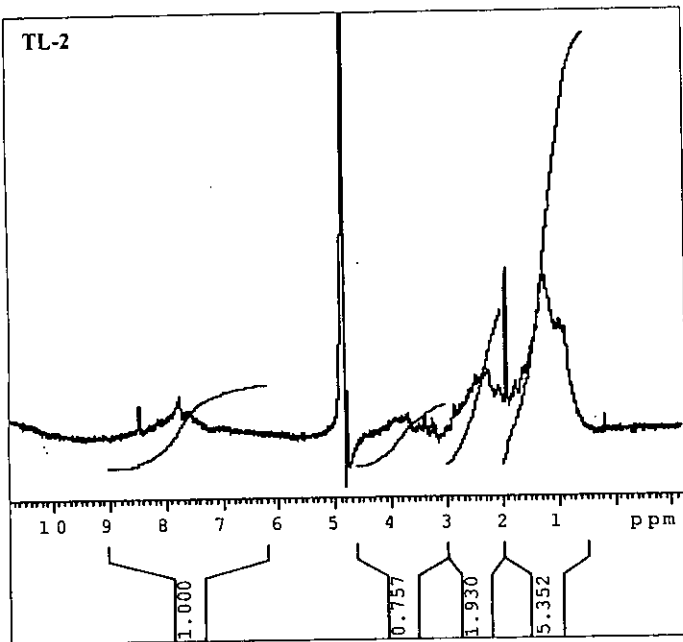
איור 1 א': חא"מ במקטע גודל $\mu\text{m} < 0.45 \text{ kDa}$

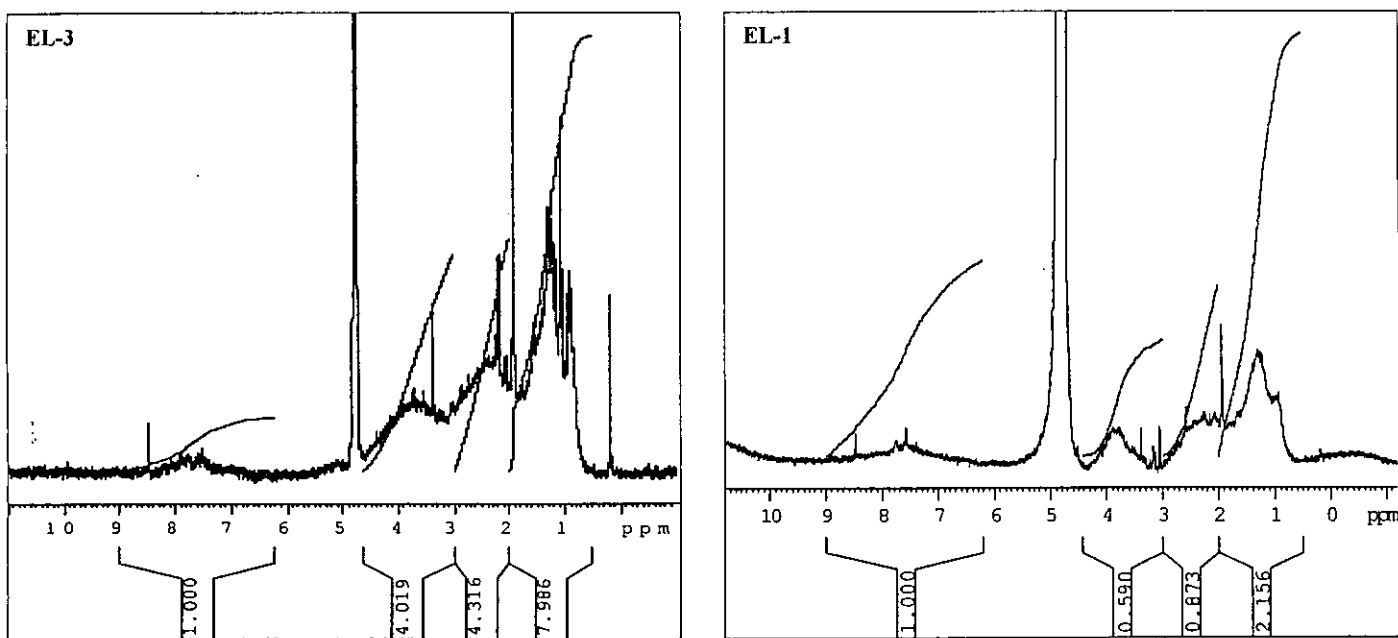




איור 1 ב': חא"מ במקטע הגודל $200 \text{ Da} < M < 1 \text{ kDa}$



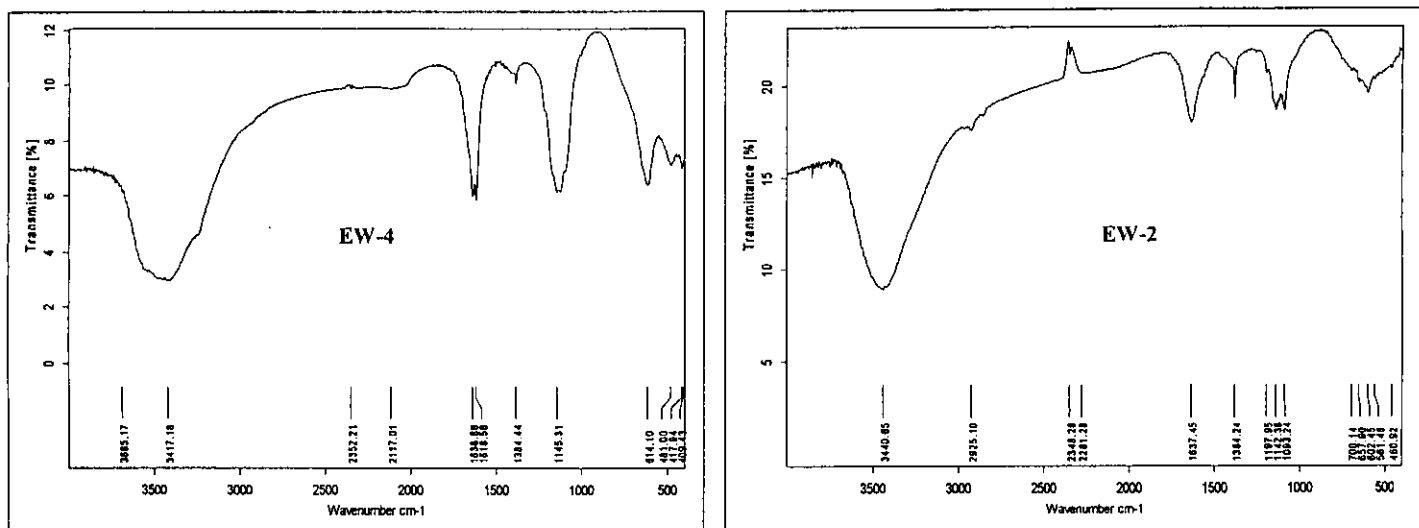


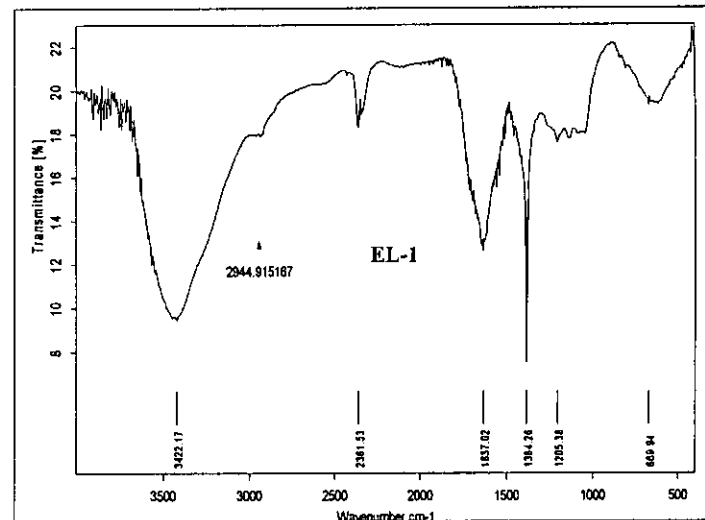
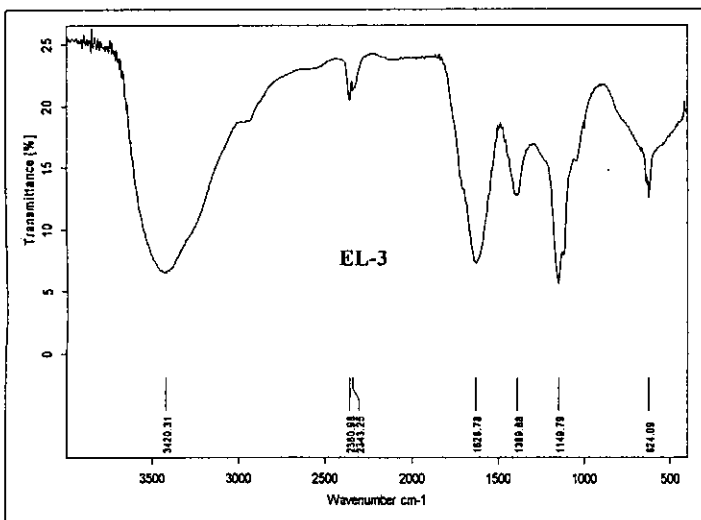
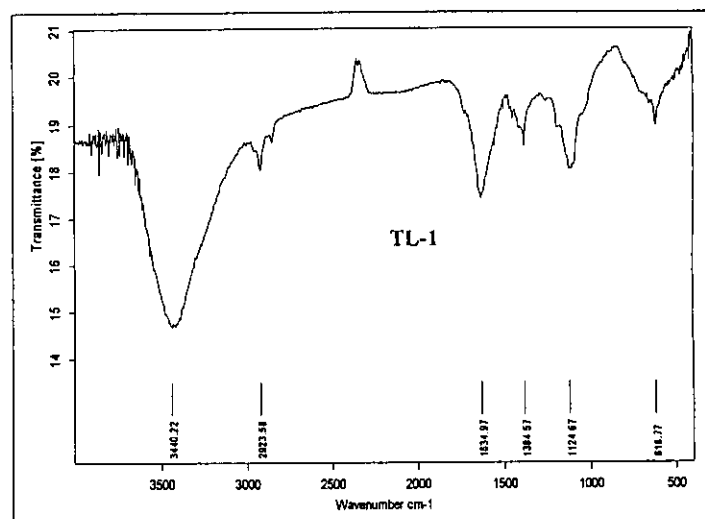
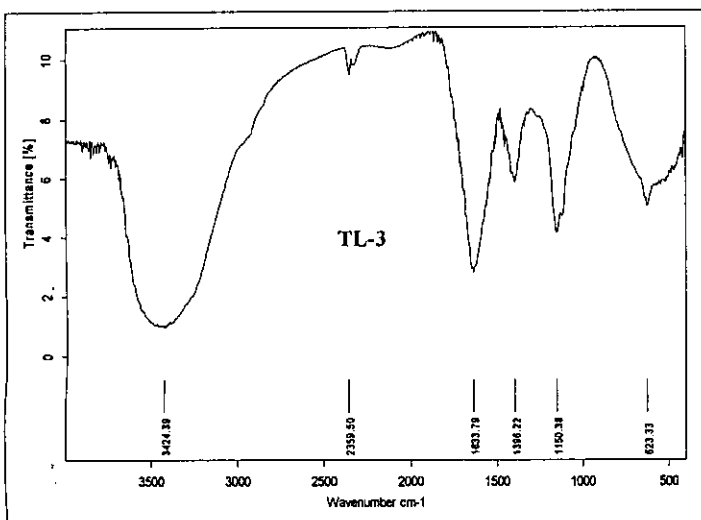


איור 2: א נליזות FTIR

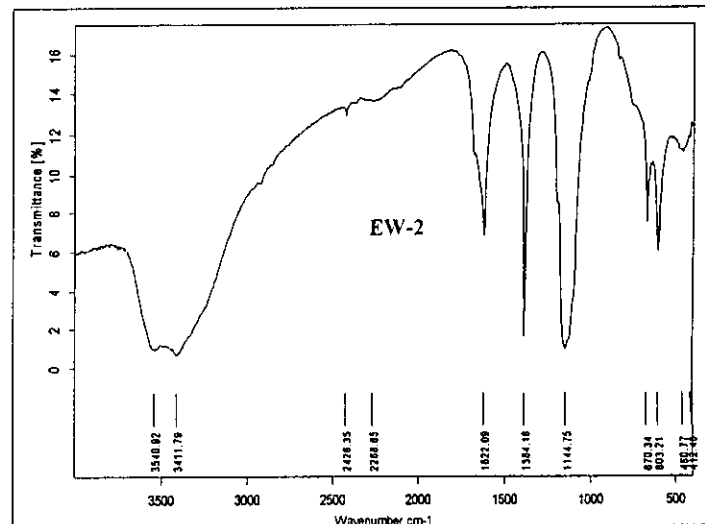
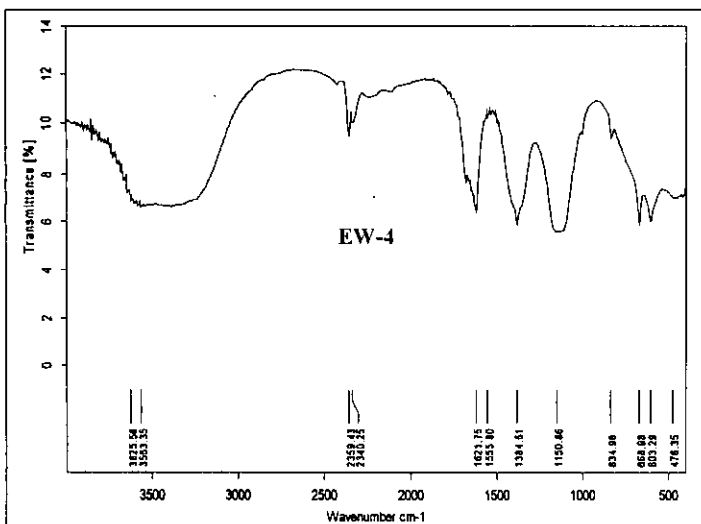
WE- מי קולחין; TL- נזק לאחר השקיה במים שפירים; EL- נזק לאחר השקיה במי קולחין

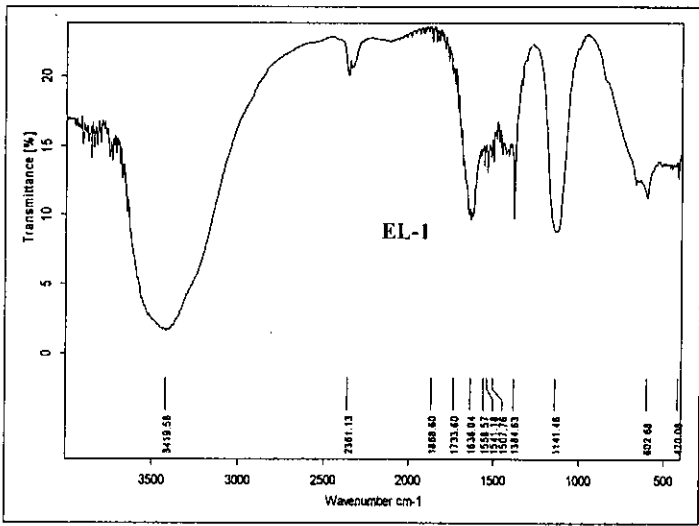
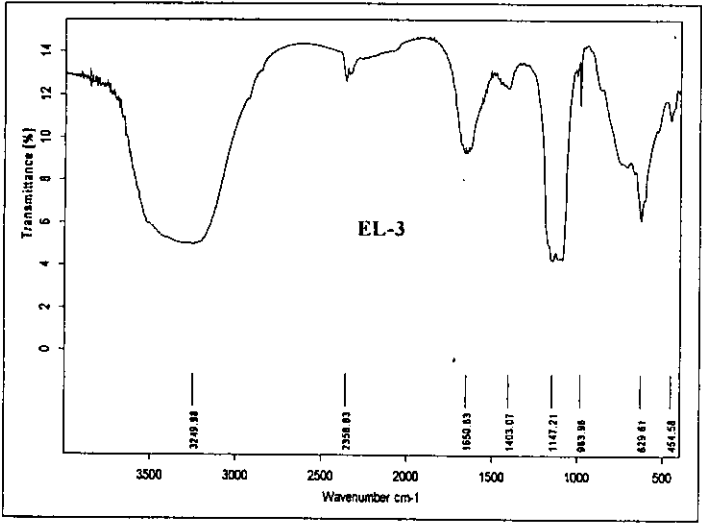
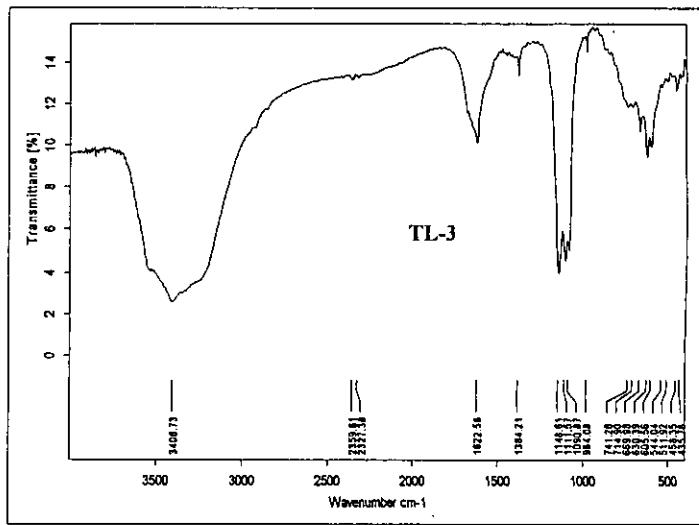
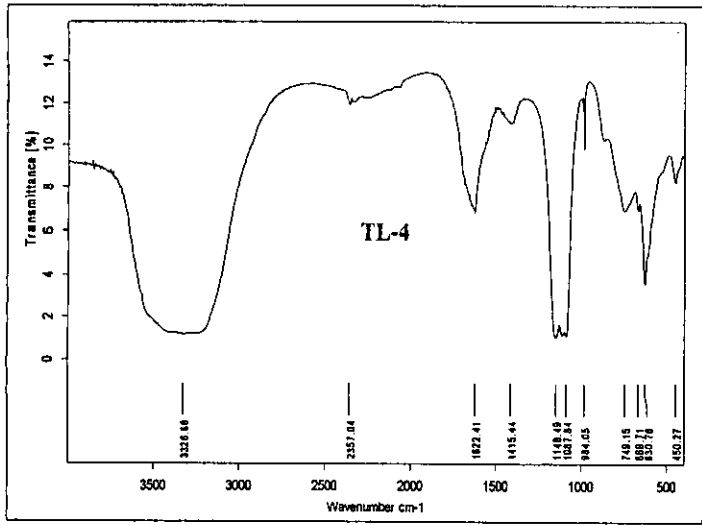
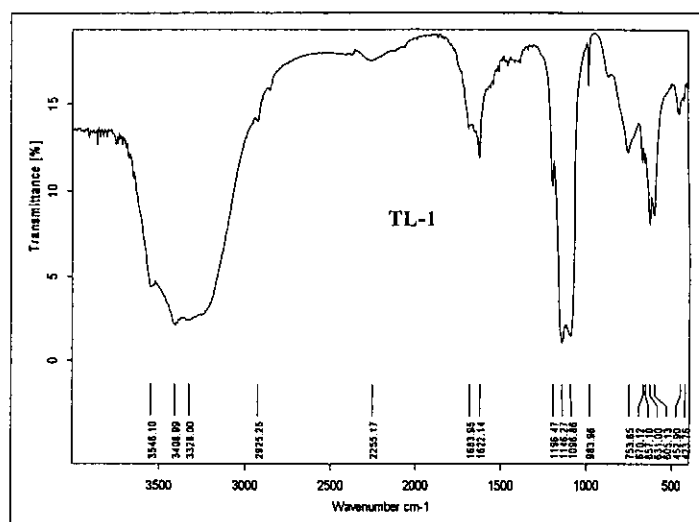
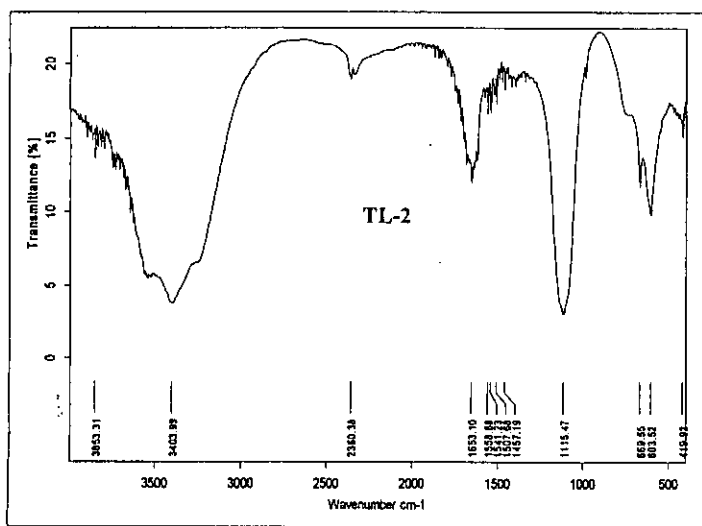
איור 2 א': חא"מ במקטע גודל $\mu\text{m} < \text{חא"מ} < 1 \text{ kDa}$



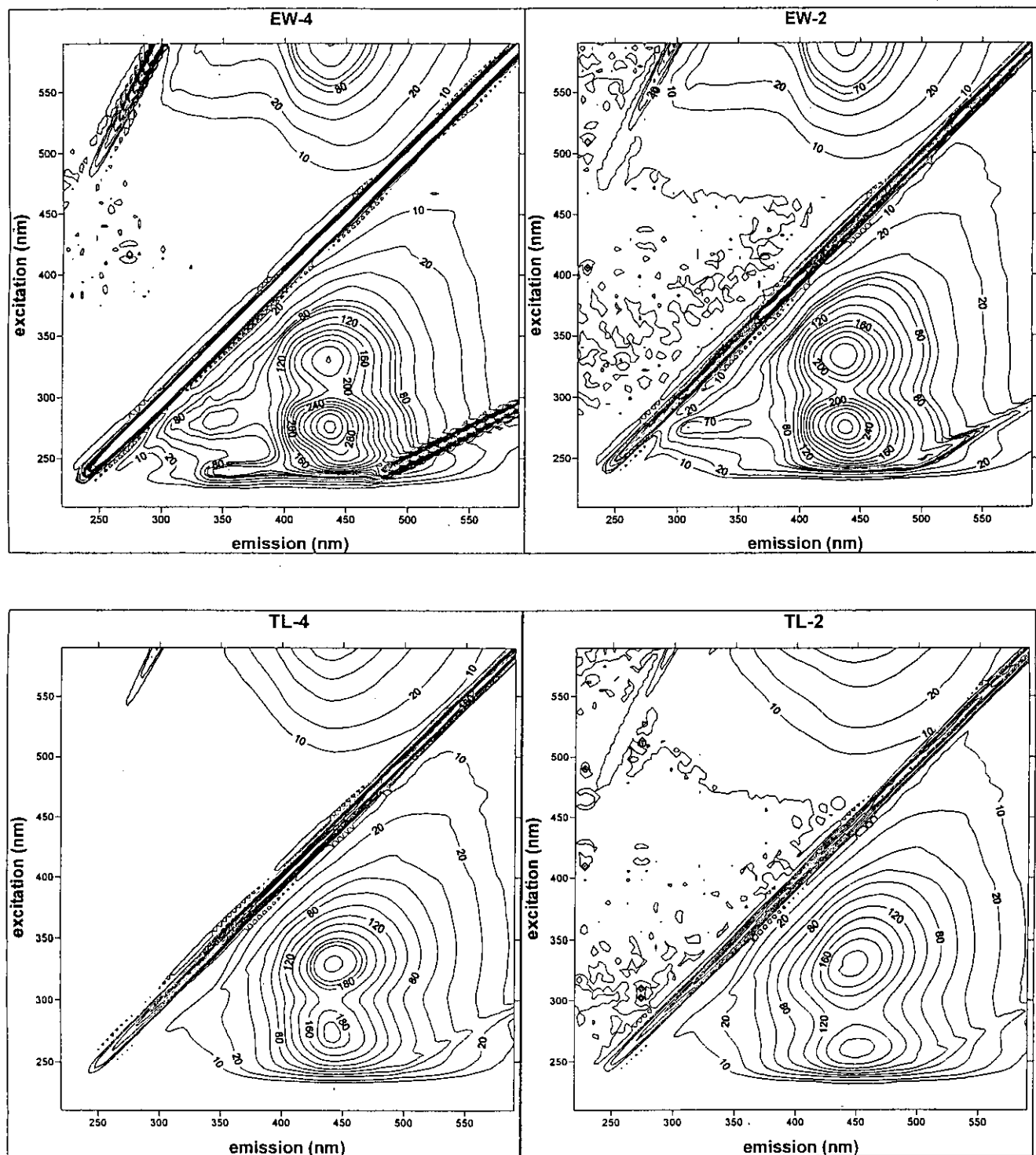


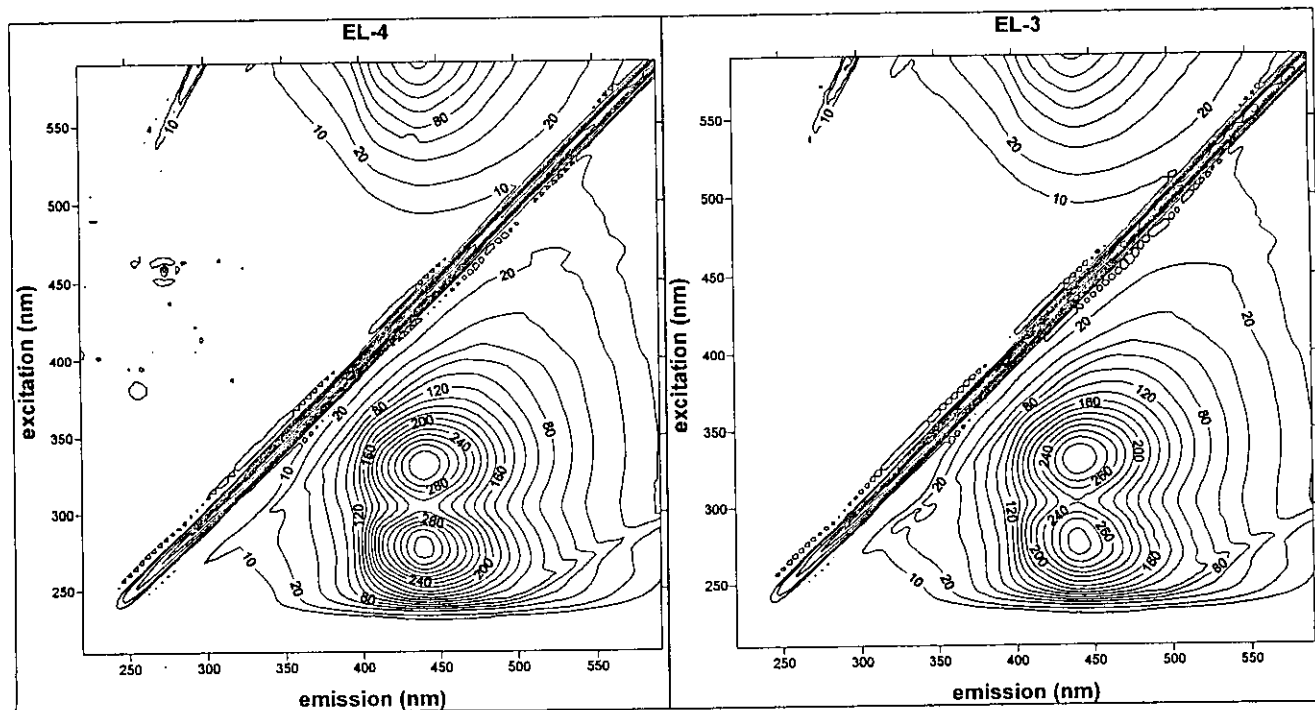
איור 2 ב': חא"מ במקטע הגדל 1< Da<200 kDa



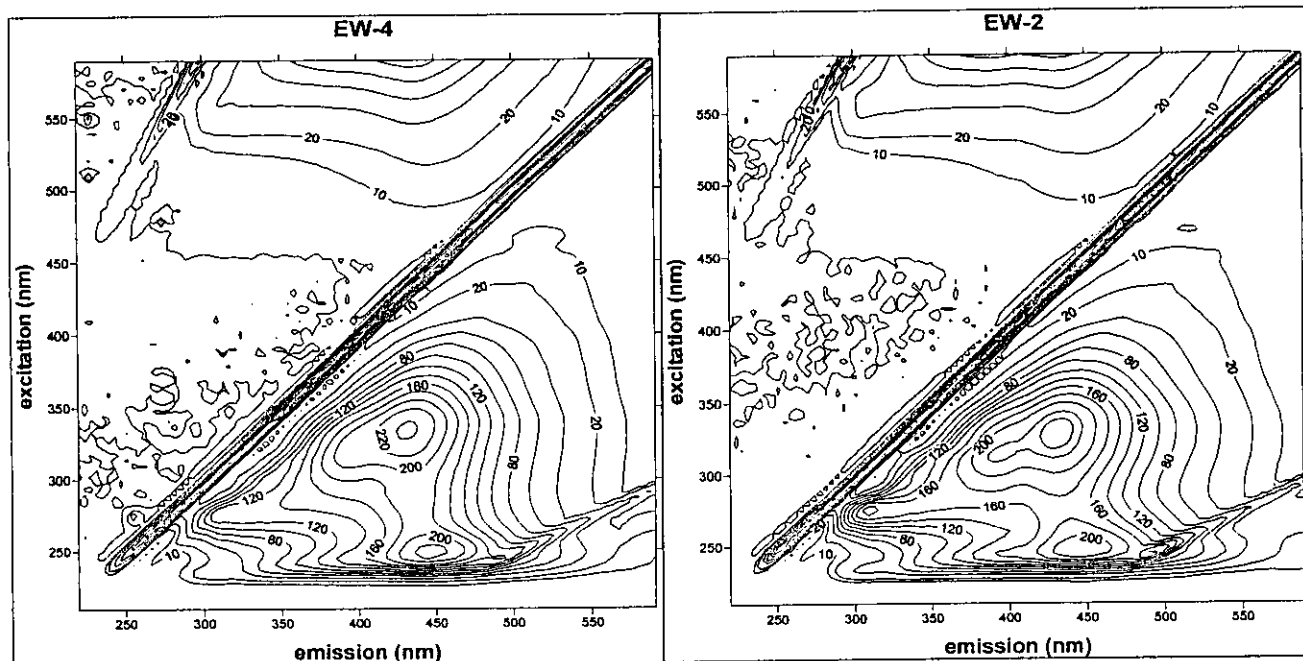


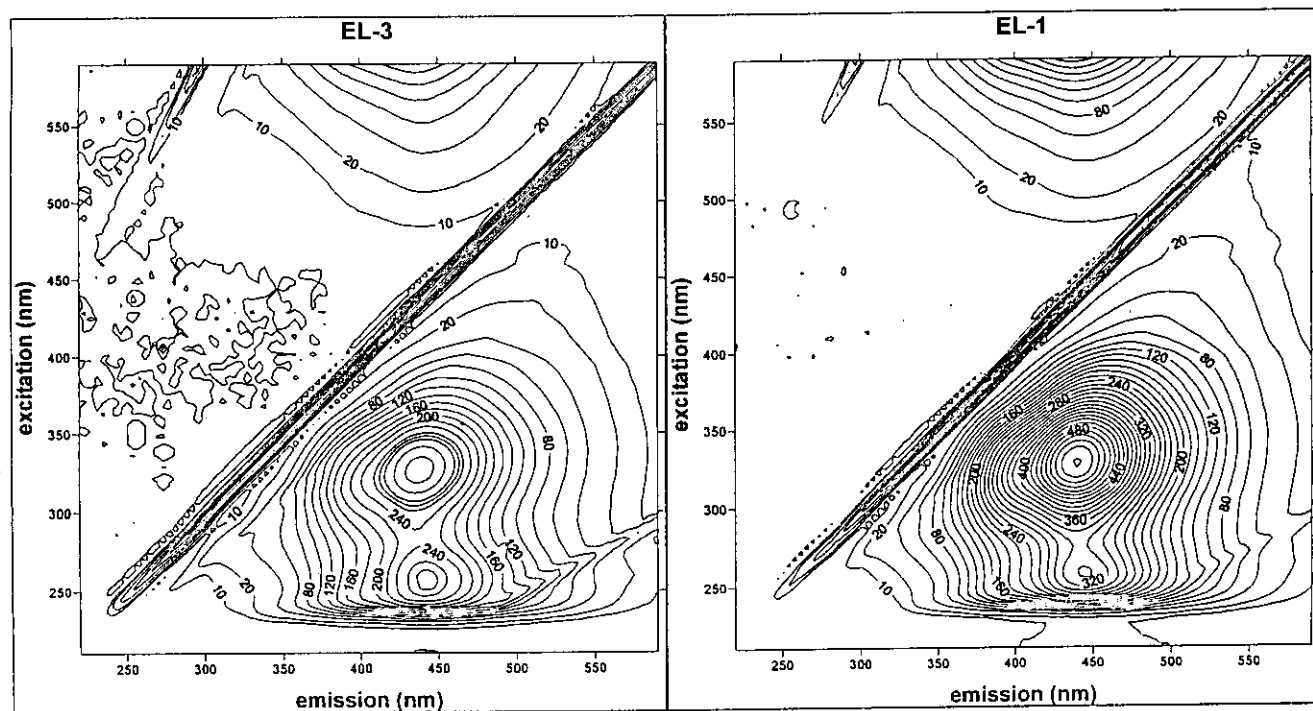
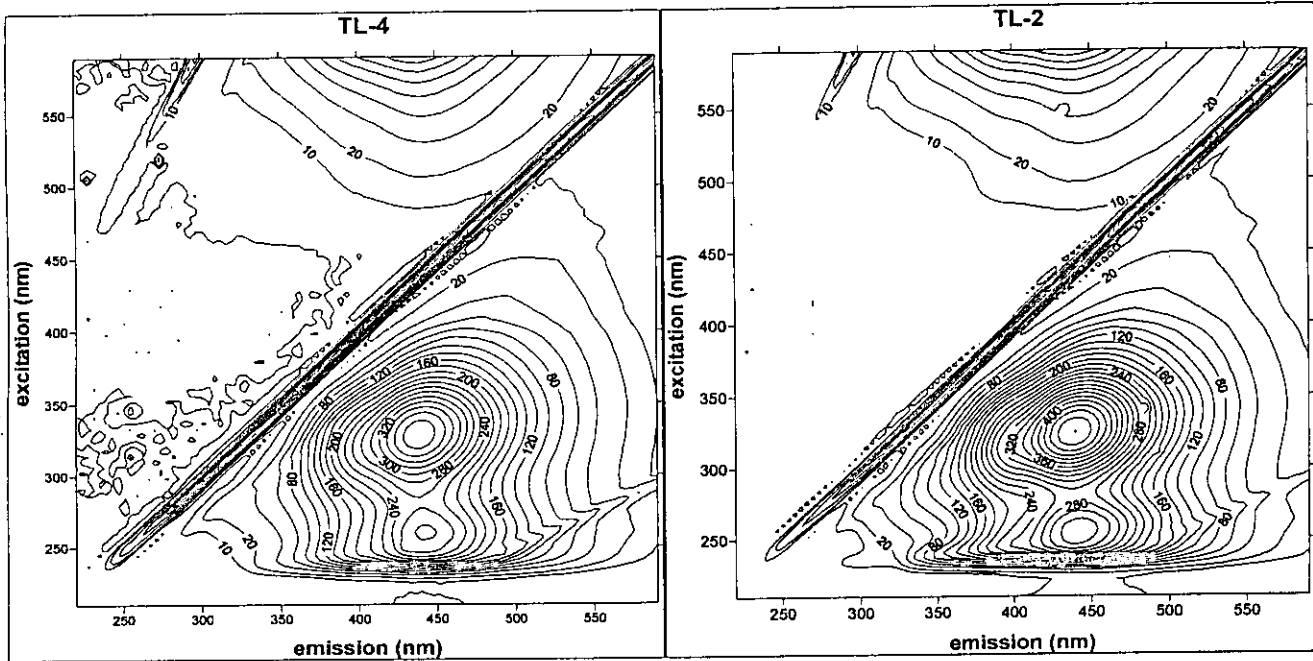
איור 3: מפות פלאורסצנטיות של דוגמאות החא"מ
 WE-4 - מ"י קולחים; TL-2 - נקז לאחר השקיה במים שפירים; EL-2 - נקז לאחר השקיה במ"י קולחים
 איור 3 א': חא"מ במקטע גודל $\mu\text{m} < 0.45 \text{ kDa}$



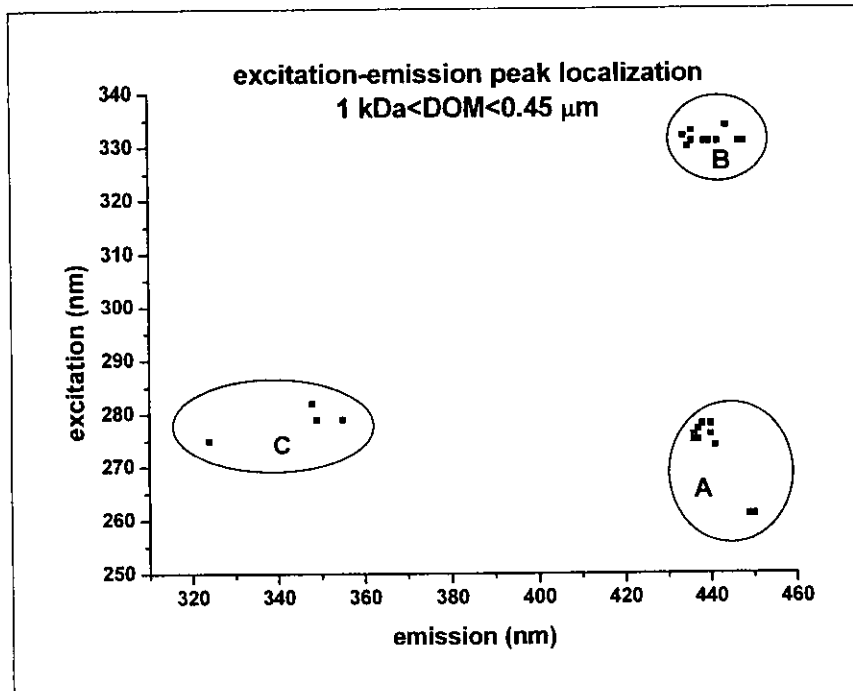


איור 3 ב': חא"מ במקטע הגדול $\text{Da} < 1 \text{ kDa} < \text{חא"מ}$ 200



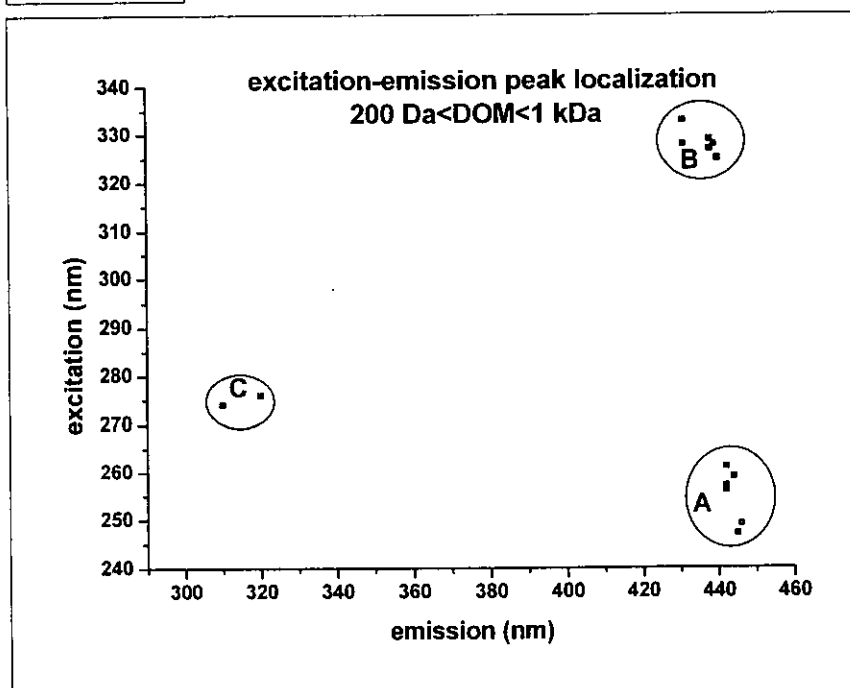


איור 4: מיקום הפיקטים הפלואורסצנטיים בחא"מ (זוגות אורכי גל לעירור ופליטה)
 איור 4 א': חא"מ במרקם גודל עד $0.45 \mu\text{m}$

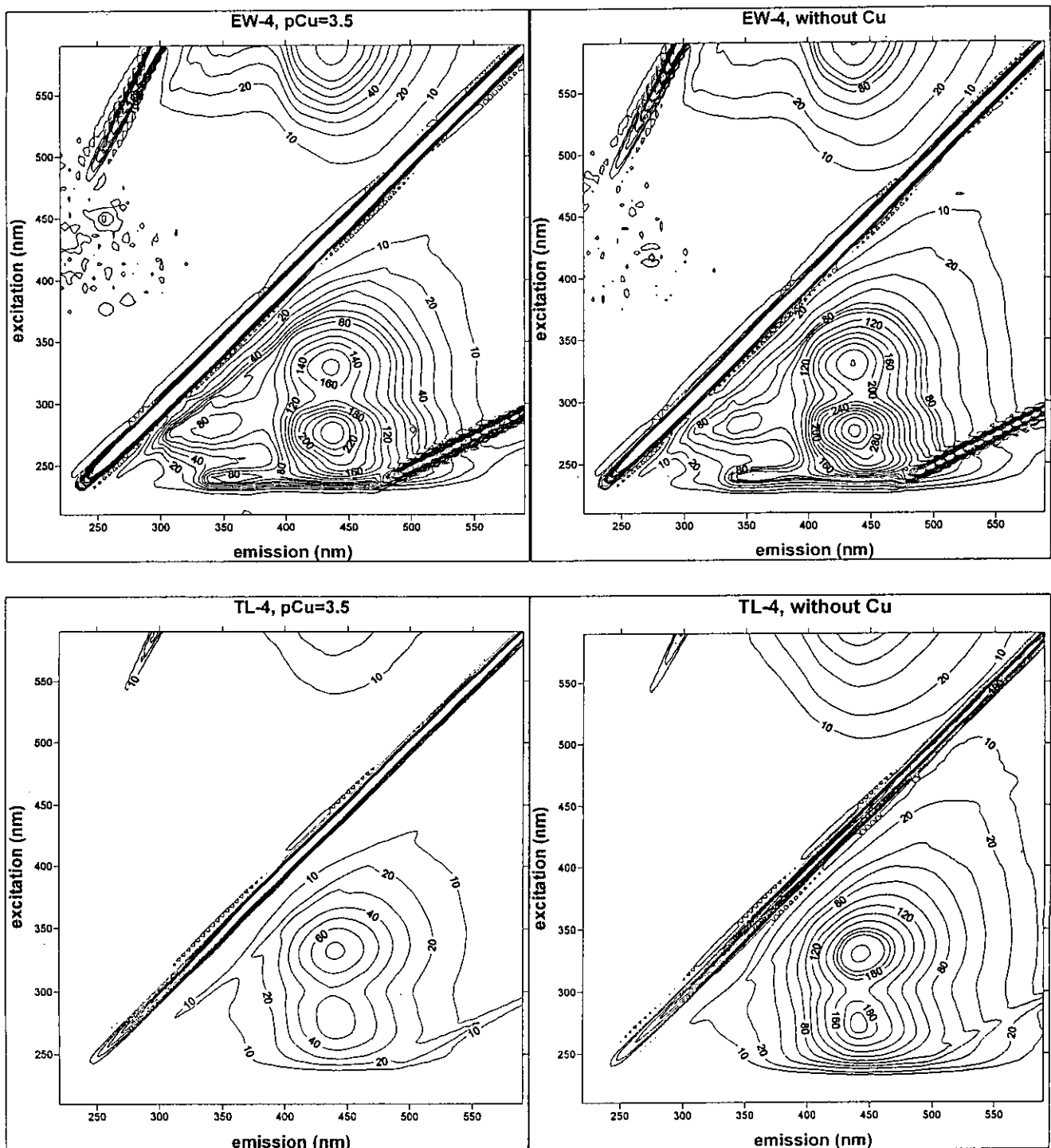


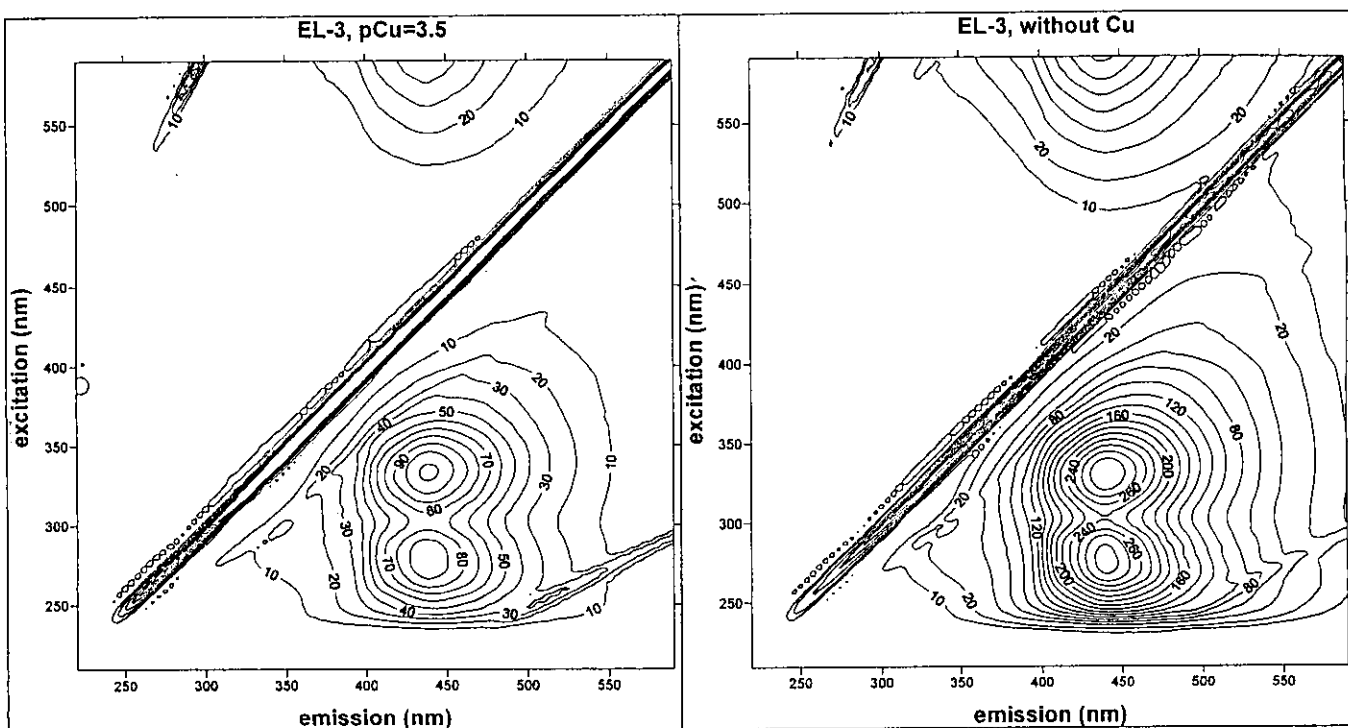
- נקז שפירים
- נקז קולחחים
- מי קולחים

איור 4 ב': חא"מ במרקם גודל $1 \text{kDa} < \text{DOM} < 200 \text{ Da}$

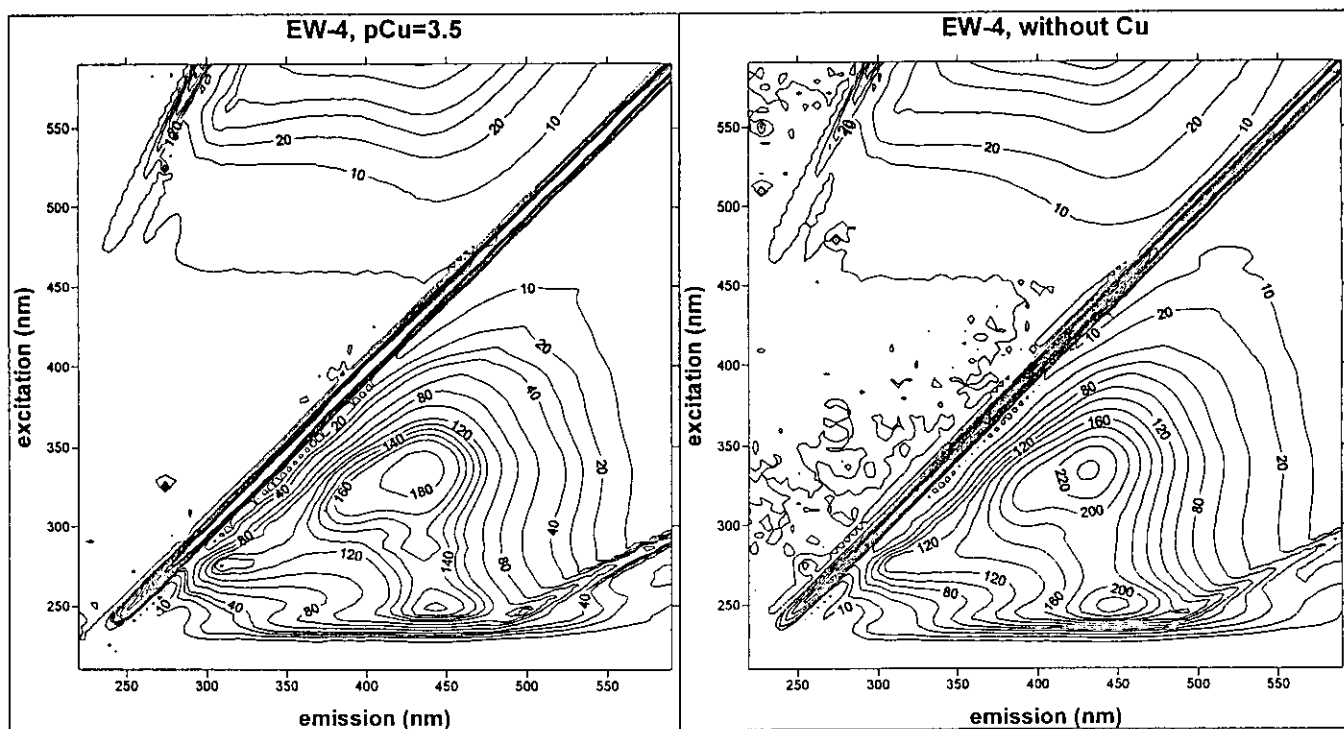


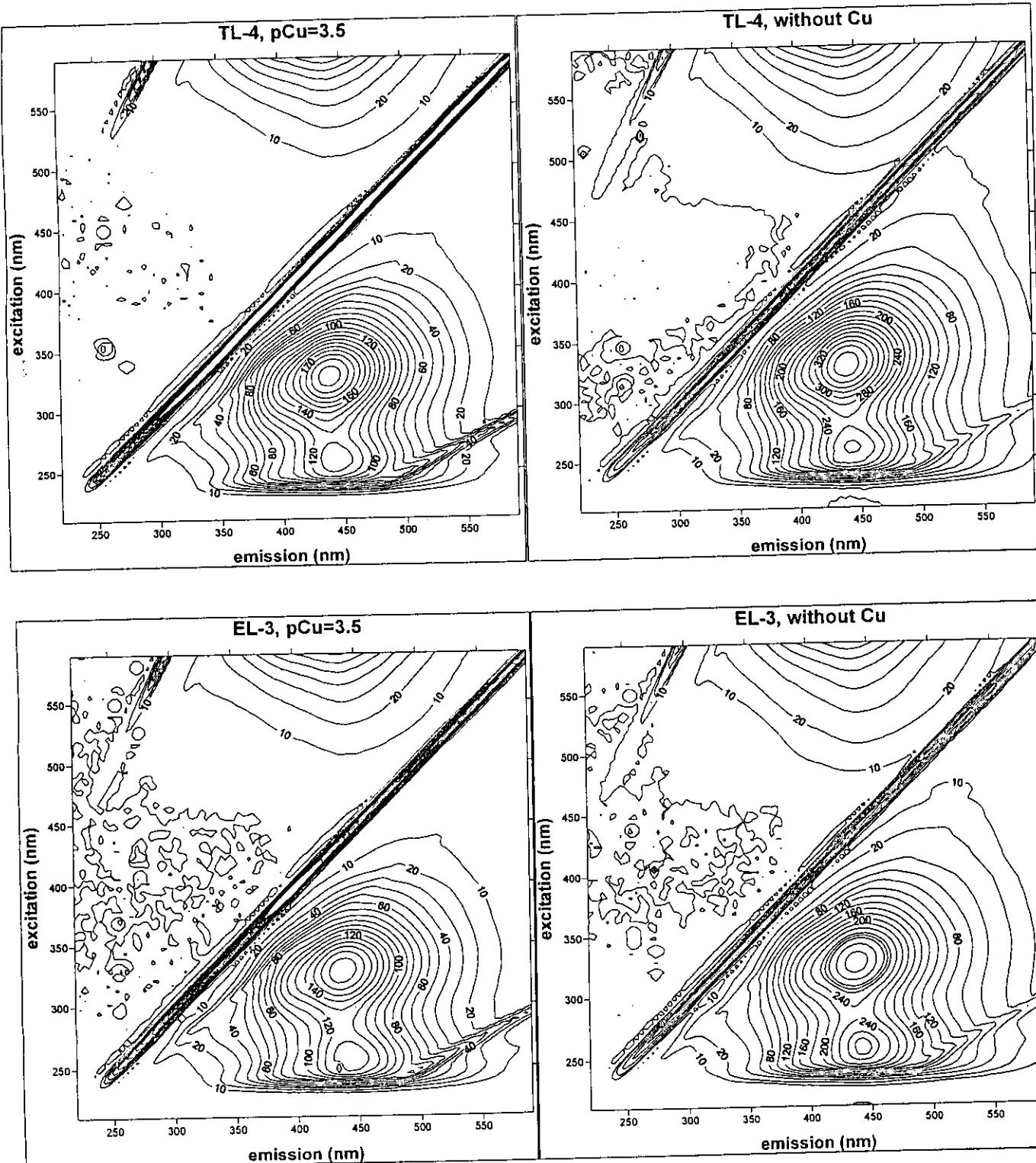
איור 5: השוואת המפות הפלואורסצנטיות, לפני ואחרי הוספה נחושת ($p\text{Cu}=3.5$)
 EW- מ' קולחין; TL- נק' לאחר השקיה במים שפירים; EL- נק' לאחר השקיה במ' קולחים
איור 5 א': חא"מ במקטע גודל $\omega < 0.45 \text{ kDa}$



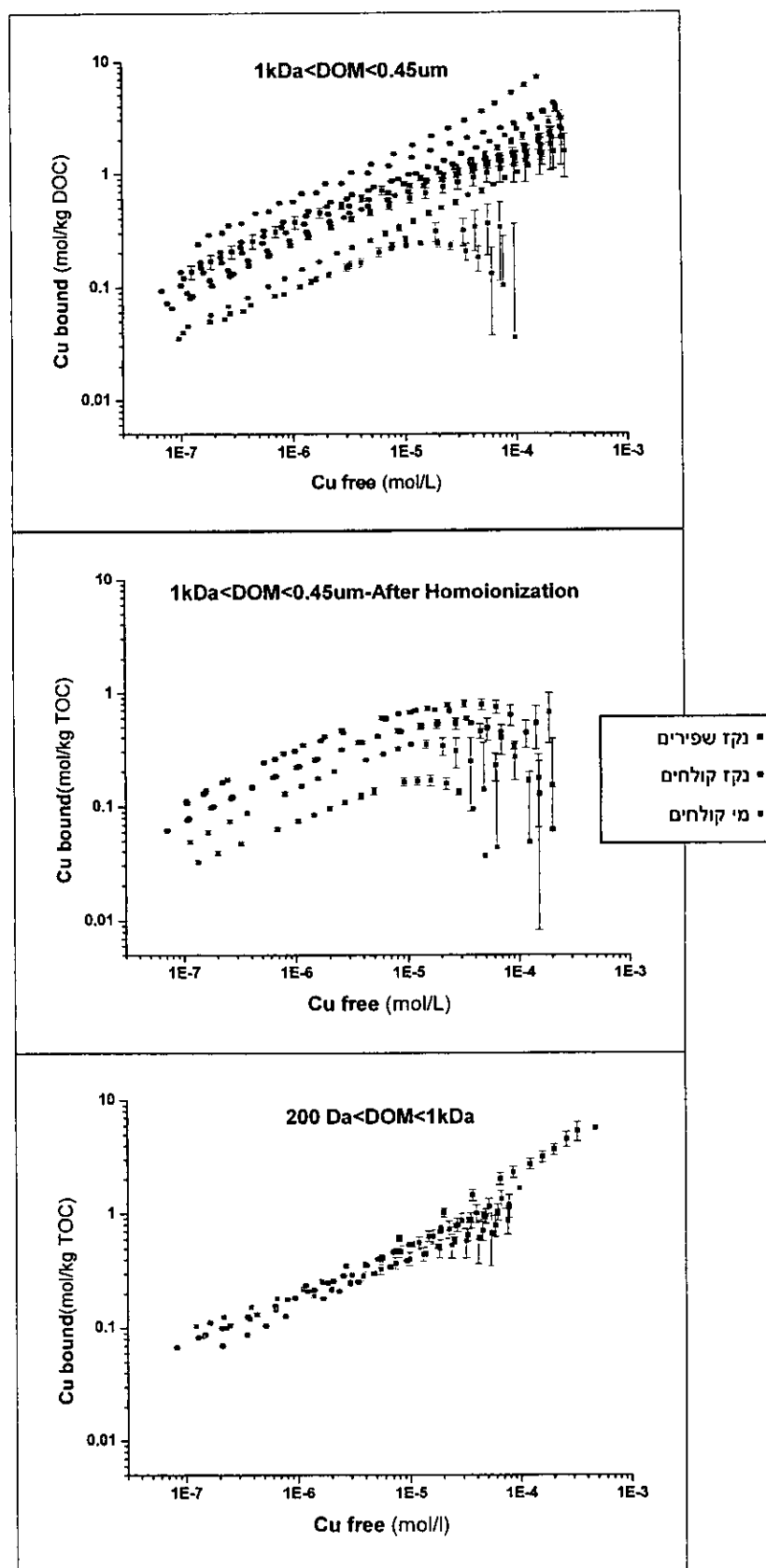


איור 5 ב': חא"מ במקטע הגדל חא"מ $< 1 \text{ kDa}$ $< 200 \text{ Da}$

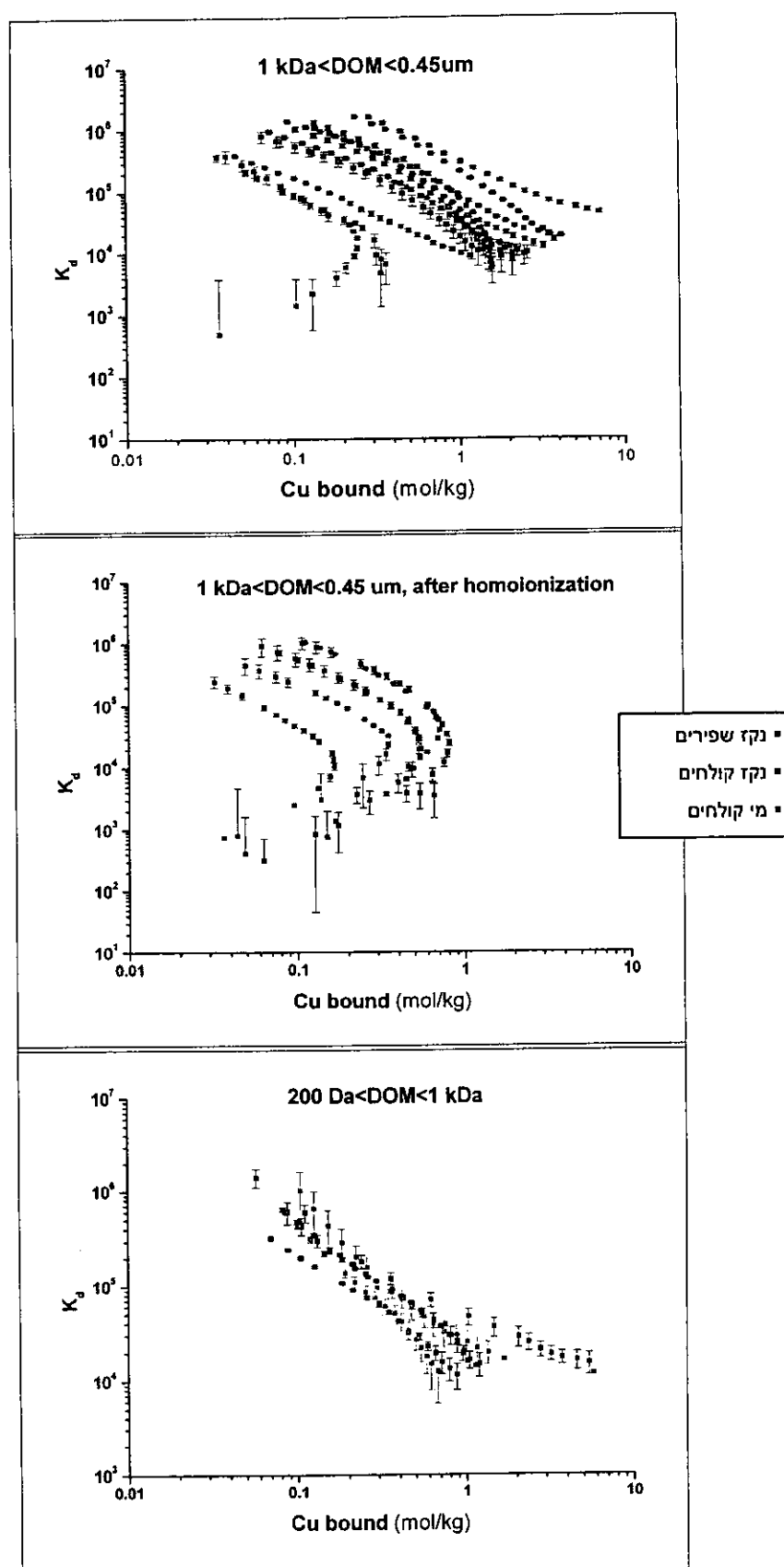




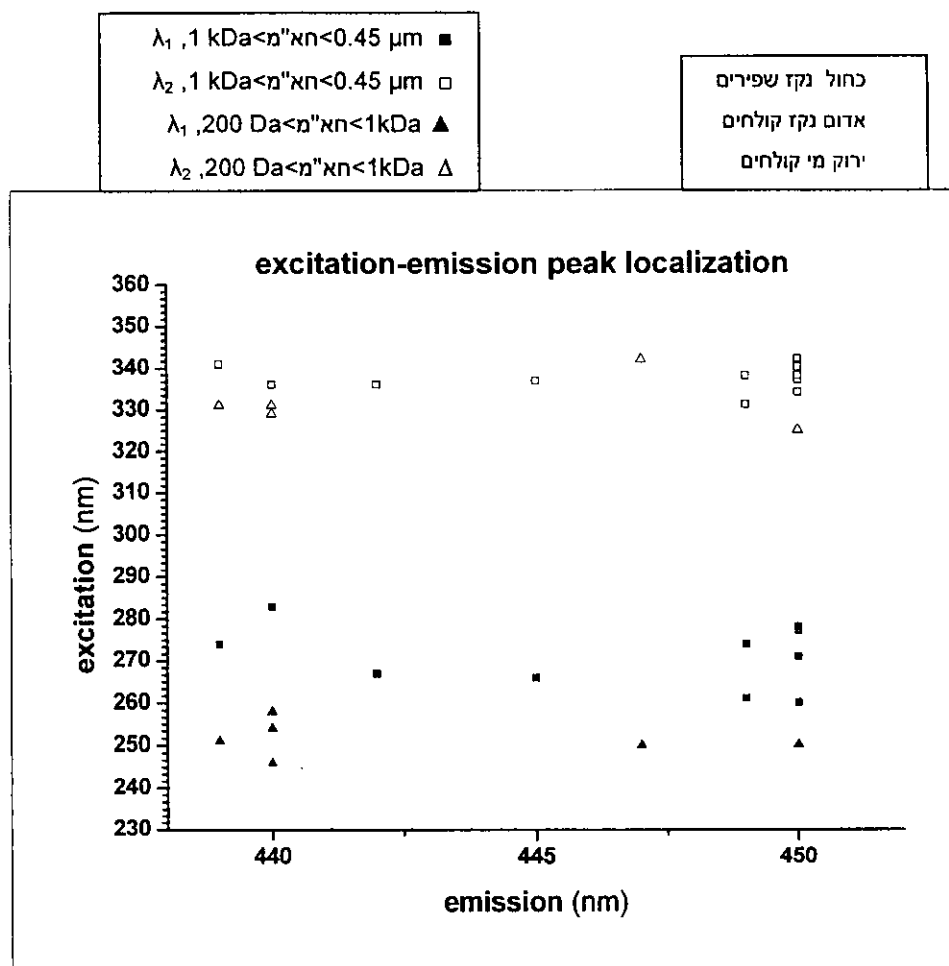
איור 9: איזוטרמות קשירה של חא"מ וכחשת



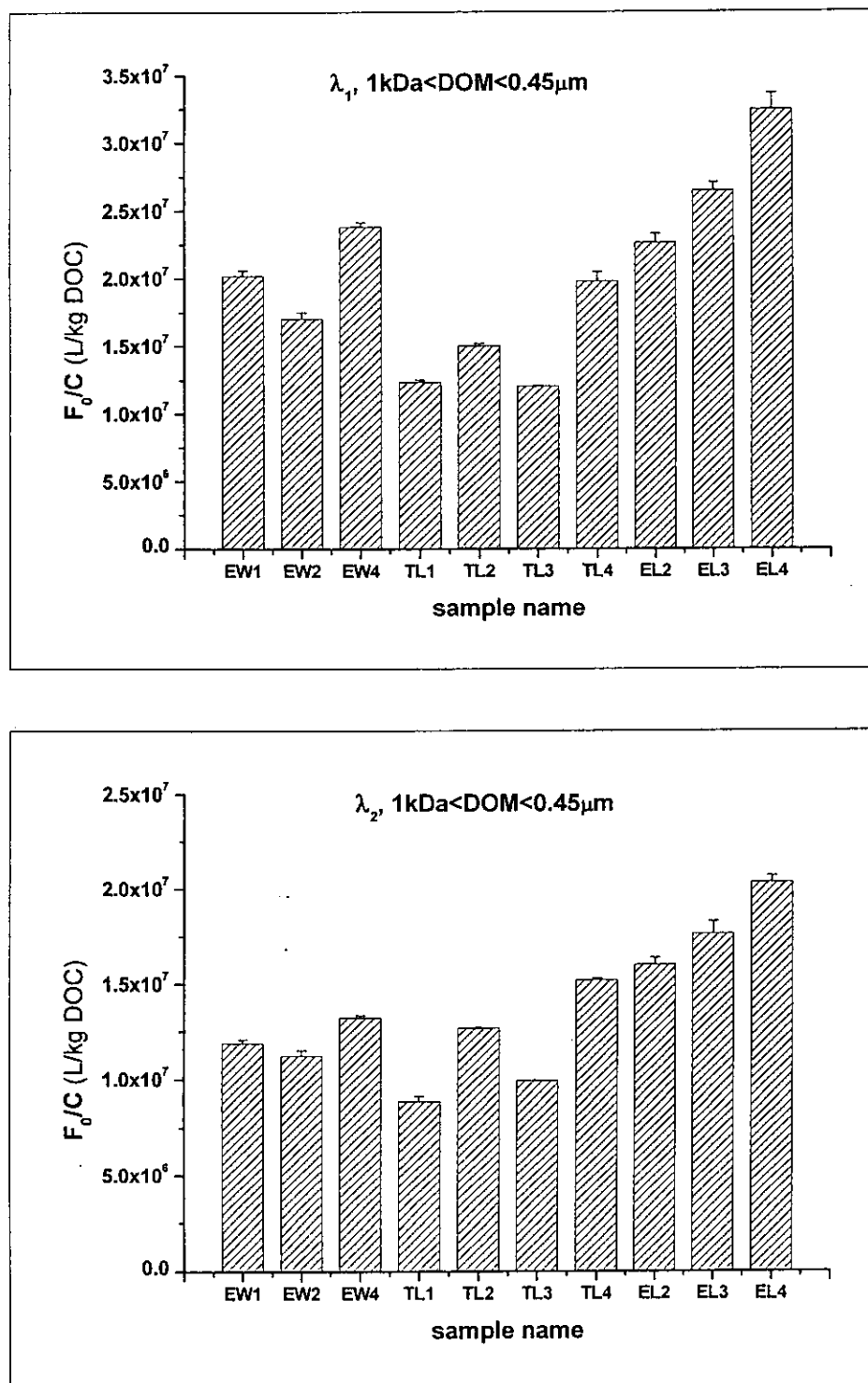
איור 7: מקדם החלוקת, K_d , כתלות ברכיב הנחוות הקשור לחא"מ



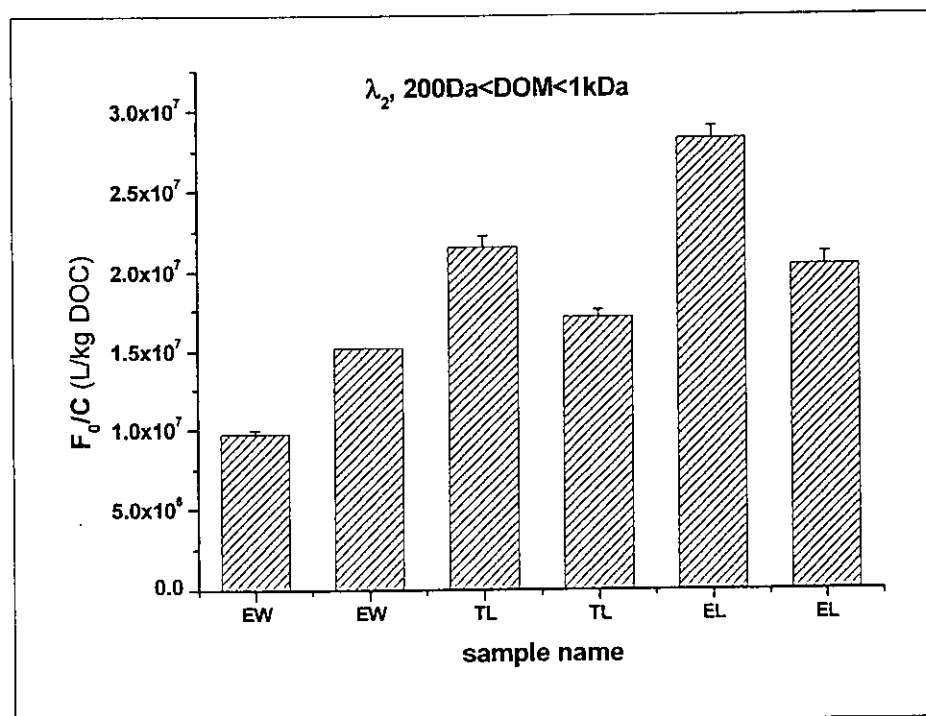
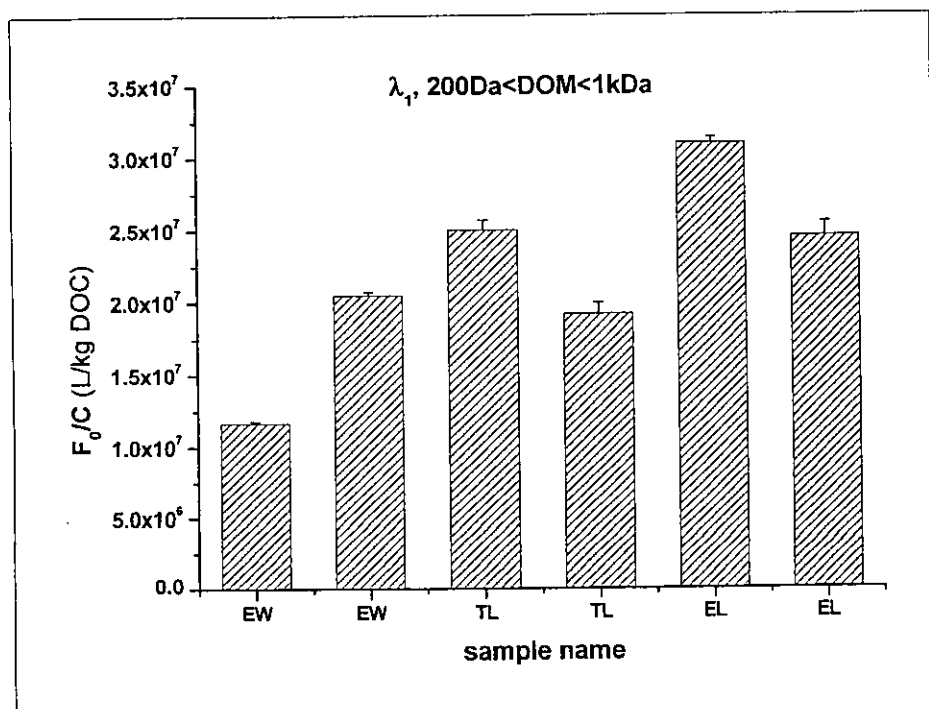
איור 8: מיקום הפיקים הפלואורסצנטיים (זוגות אורך גל לעירור ופליטה), עבור דוגמאות חא"מ



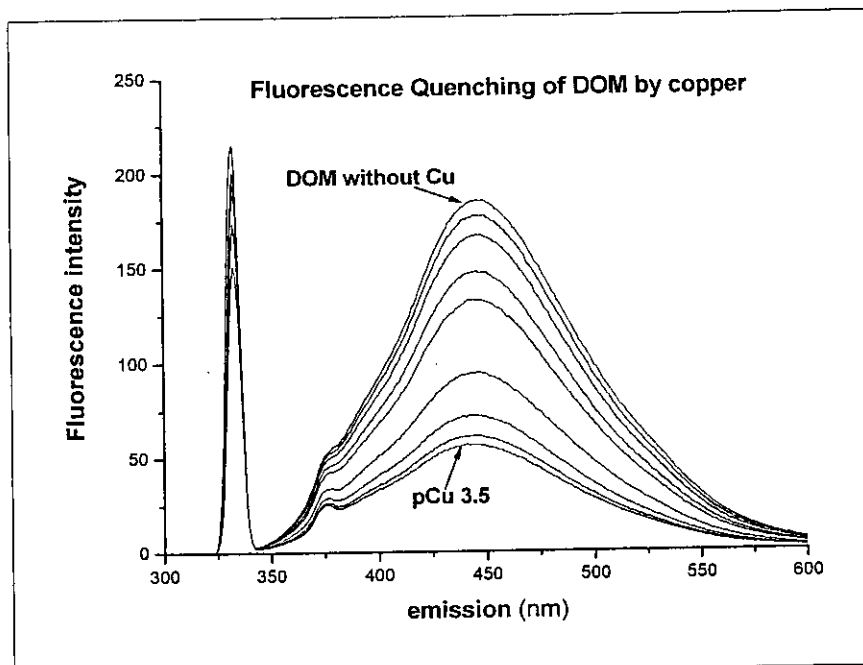
איור 9: עצמת הפלואורו-אנטיה המנורמלת לריכוז חא"מ, בדוגמאות חא"מ ללא תוספת נחושת EW- מי קולחים; TL- נקי לאחר השקיה במים שפירים; EL- נקי לאחר השקיה במים קולחים
 איור 9 א': חא"מ במקטע גודל $1 \text{ kDa} < \text{DOM} < 0.45 \mu\text{m}$



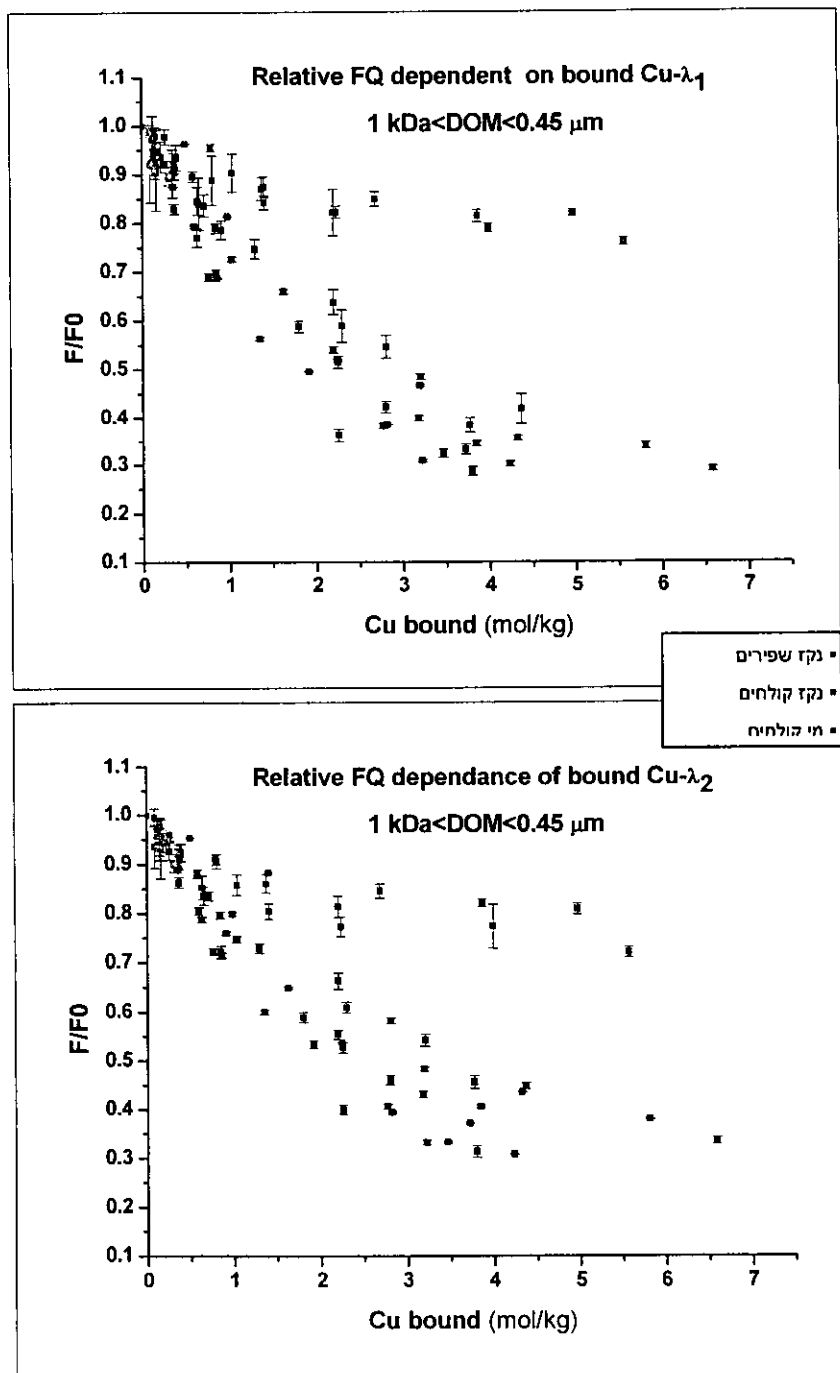
איור 9 ב': חא"מ במקטע הגדל $200 \text{ Da} < \text{DOM} < 1 \text{ kDa}$



איור 10: דיכוי בעצמת הפלואורו-סנטיטי של דוגמת חא"מ בתוספת ריכוזי נחושת עולים



איור 11: עצמת הפלואורסצנטיה היחסית, כתלות ברכיב הנחוותת הקשורה
איור 11 א': חא"מ במקטע גודל $\mu\text{m} < 0.45 \text{ kDa}$



איור 11 ב': חא"מ במקטע הנוגד $200 \text{ Da} < \text{DOM} < 1 \text{ kDa}$

